

A-02024 FIGS. 1-62C

FIG. 1 PRIOR ART

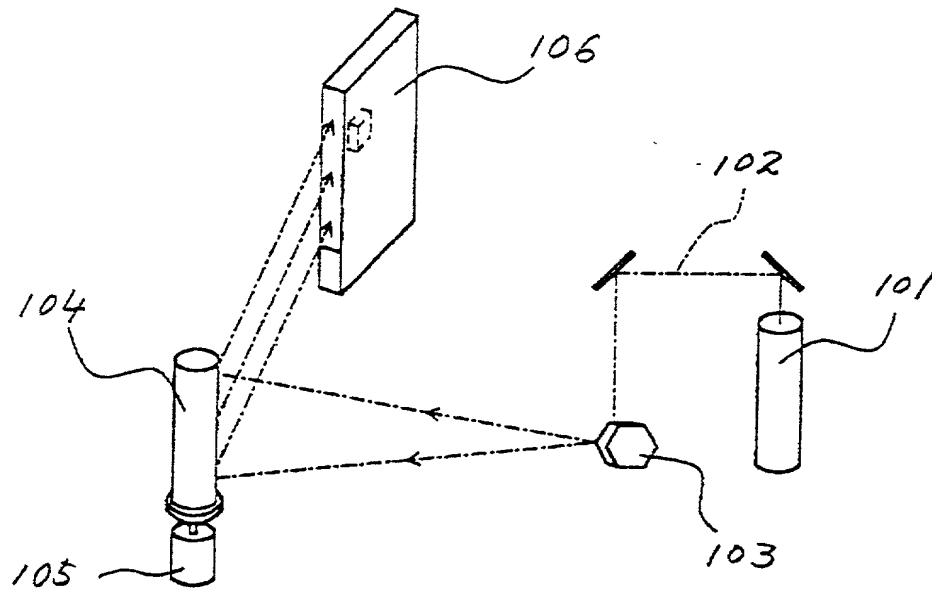


FIG. 2 PRIOR ART

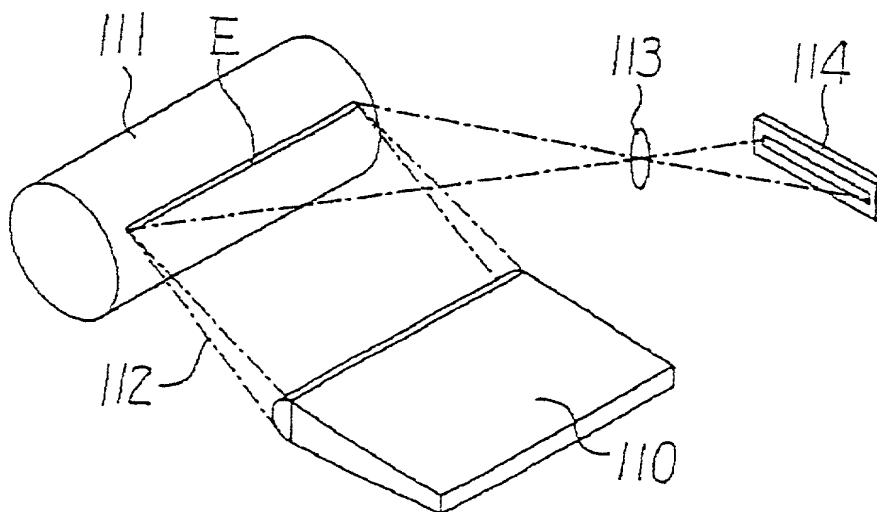


FIG. 3 PRIOR ART

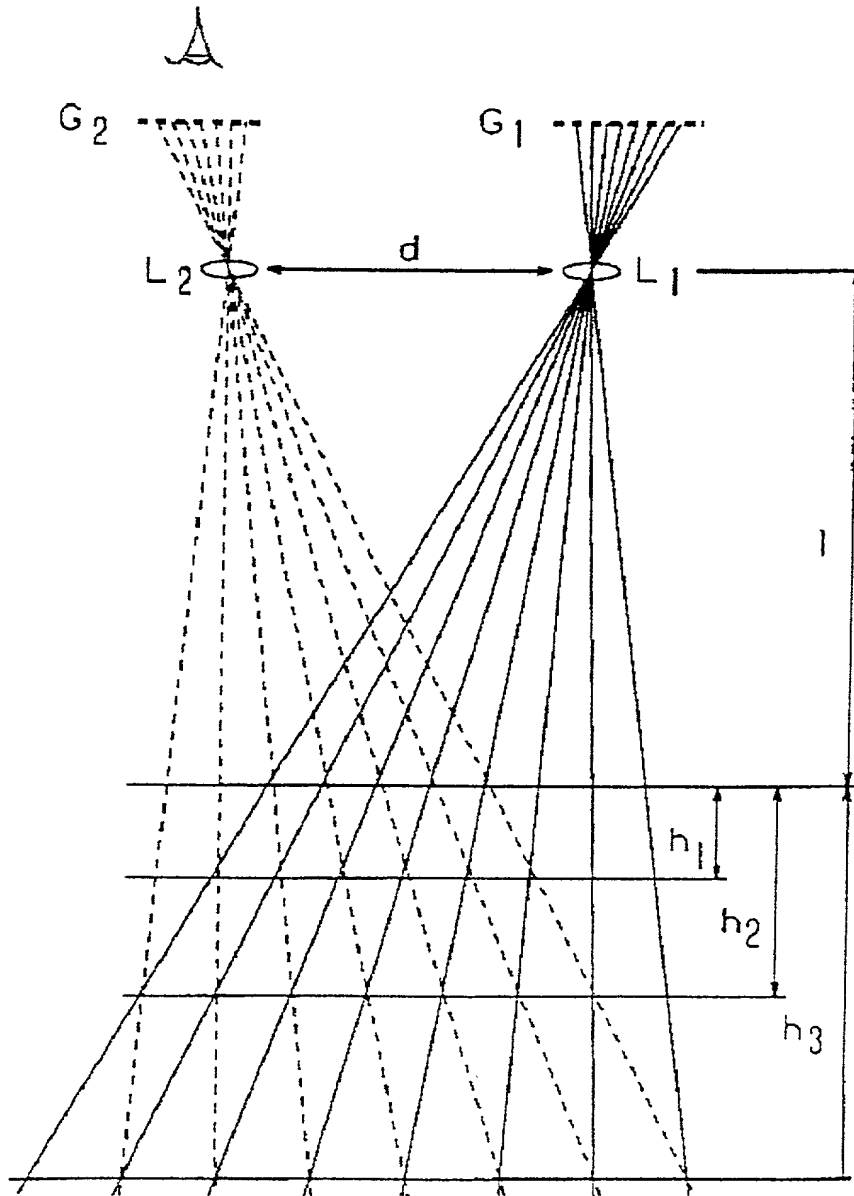


FIG. 4 PRIOR ART

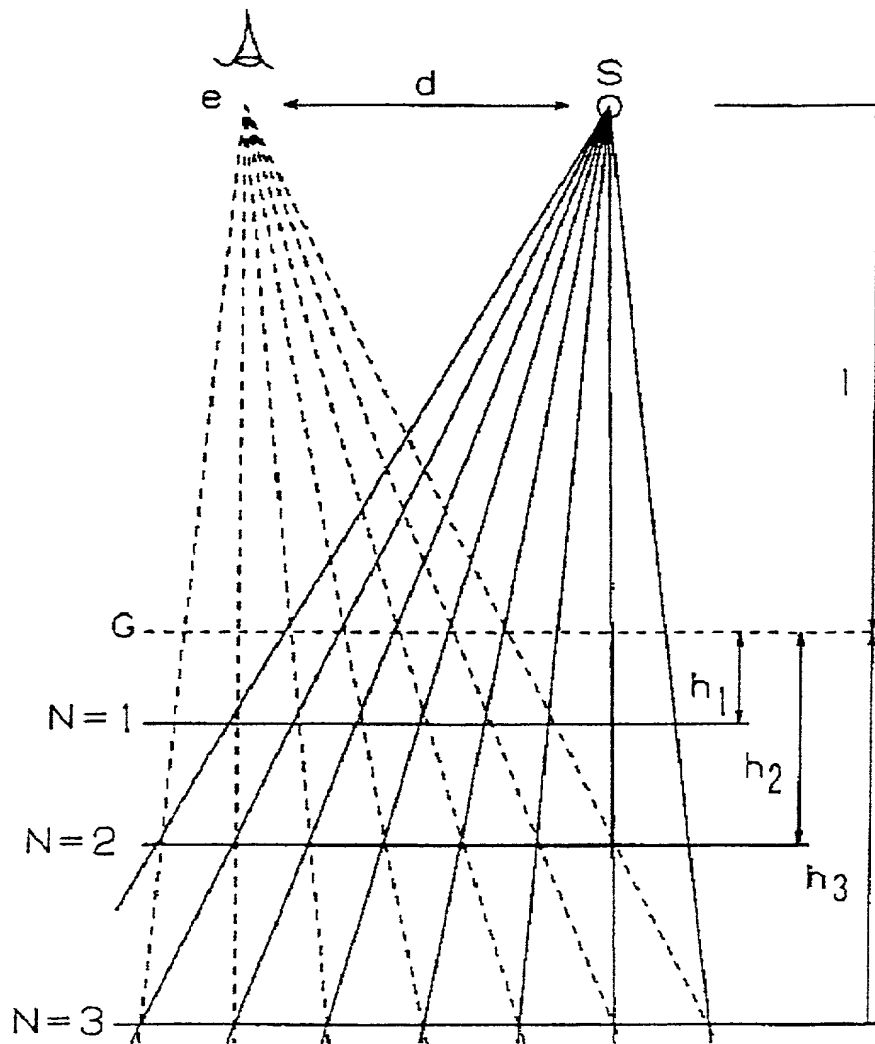


FIG. 5

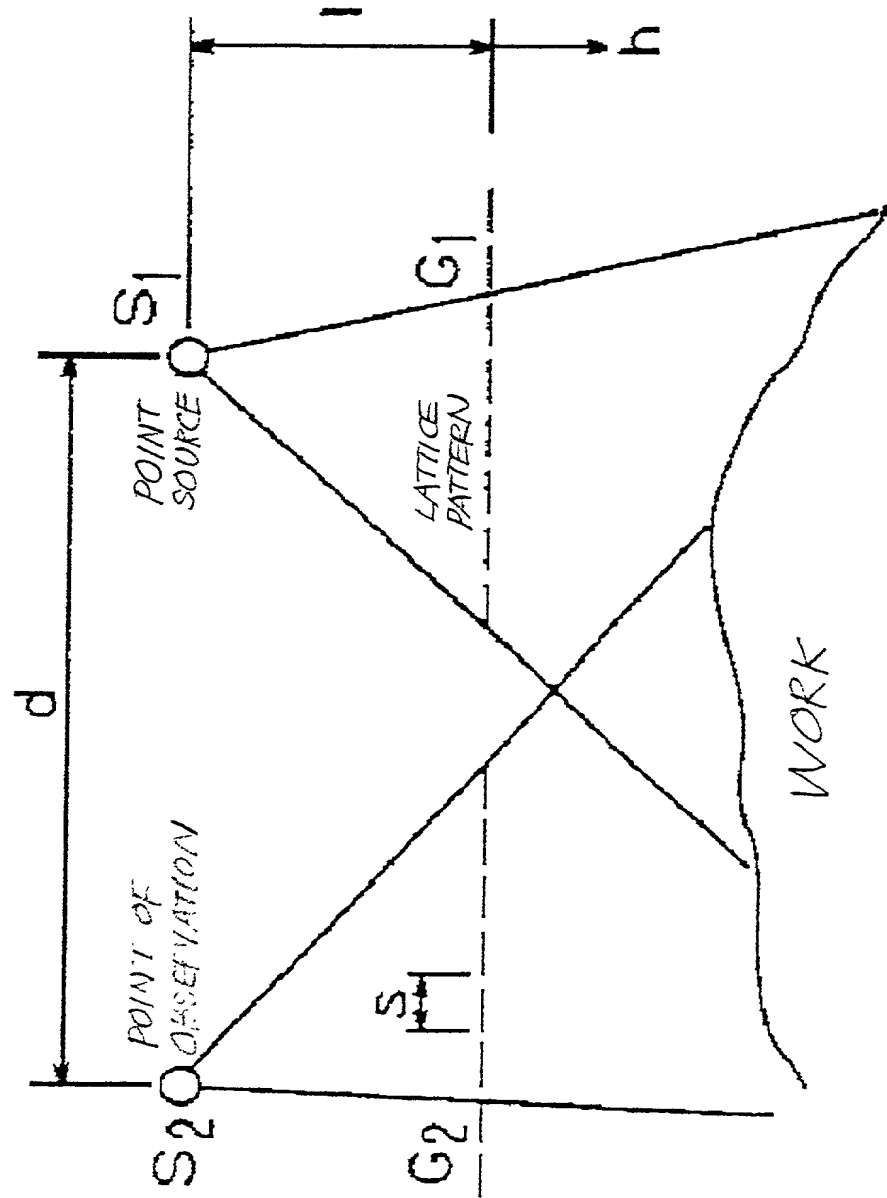


FIG. 6

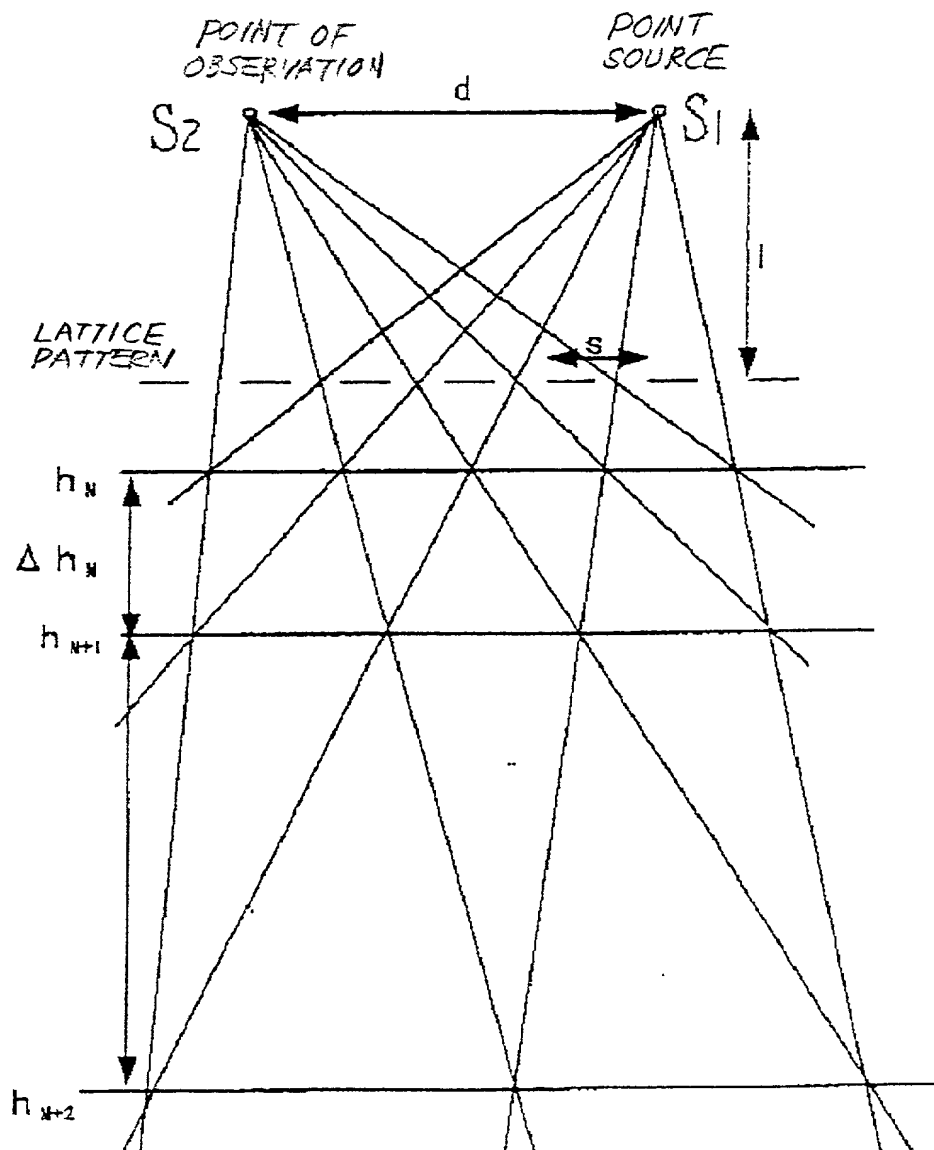


FIG. 7

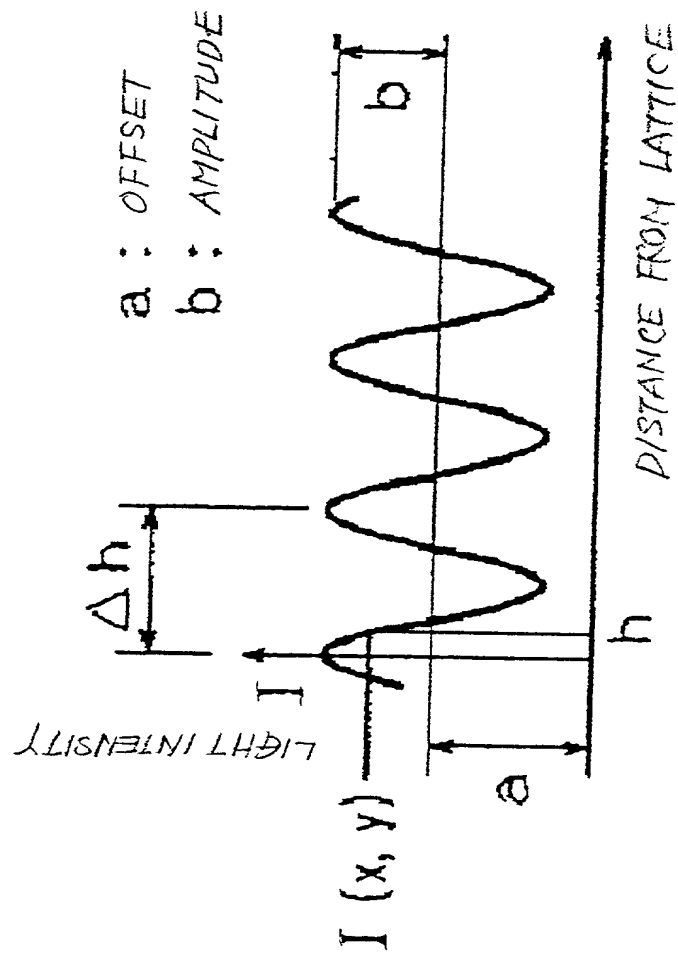


FIG. 8

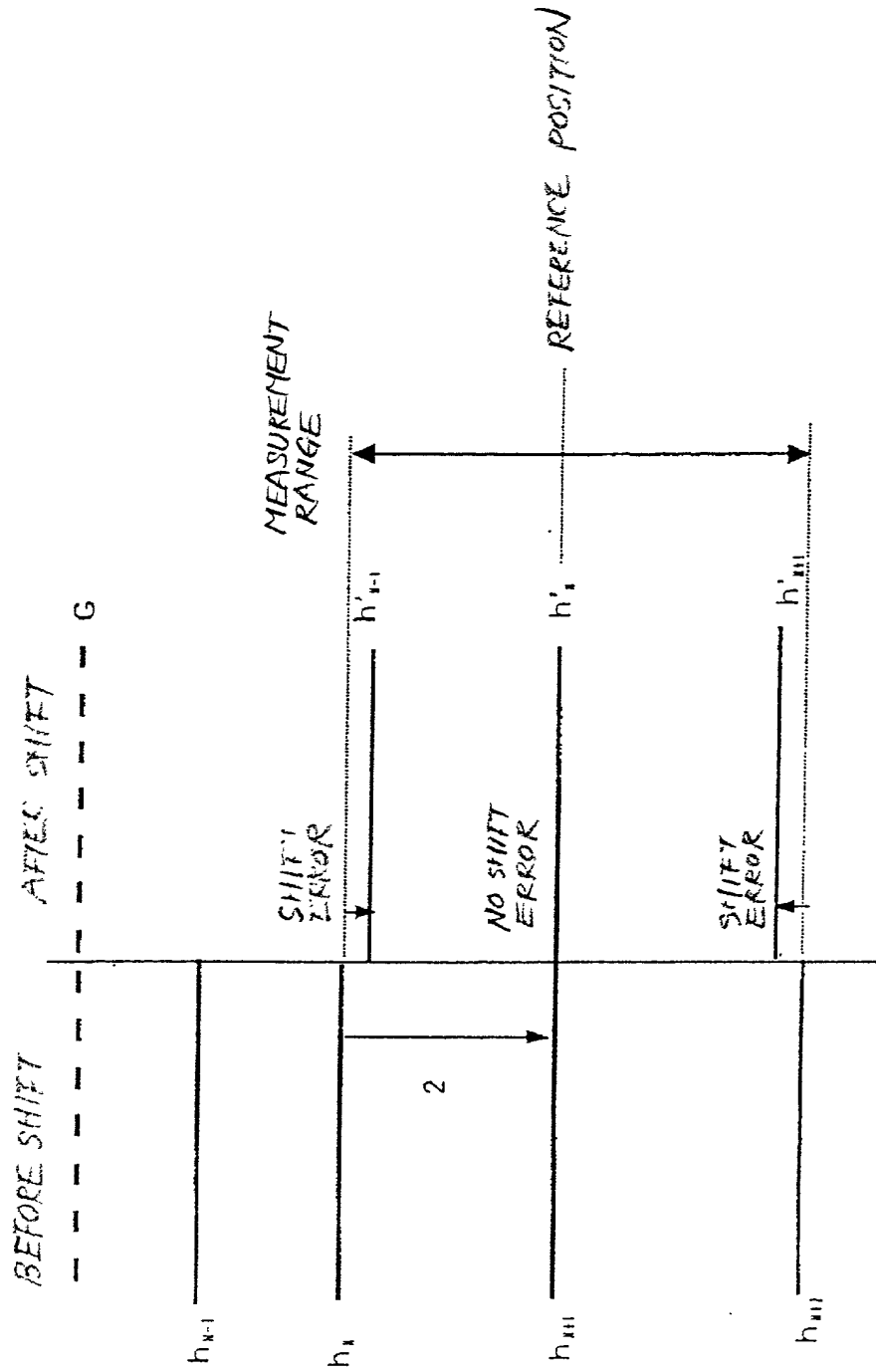


Fig. 9

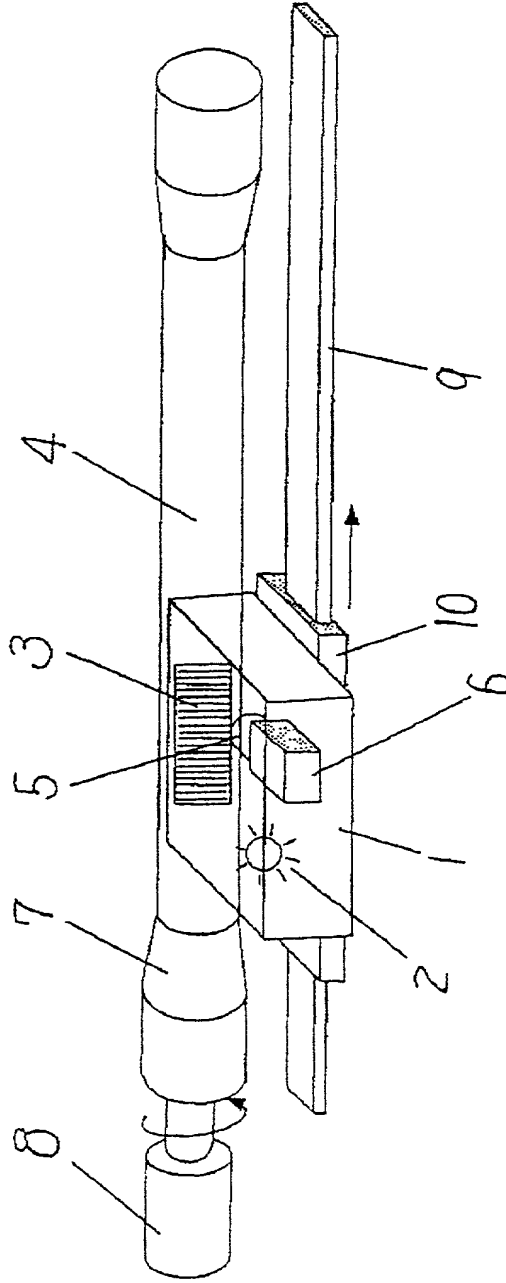


FIG. 10

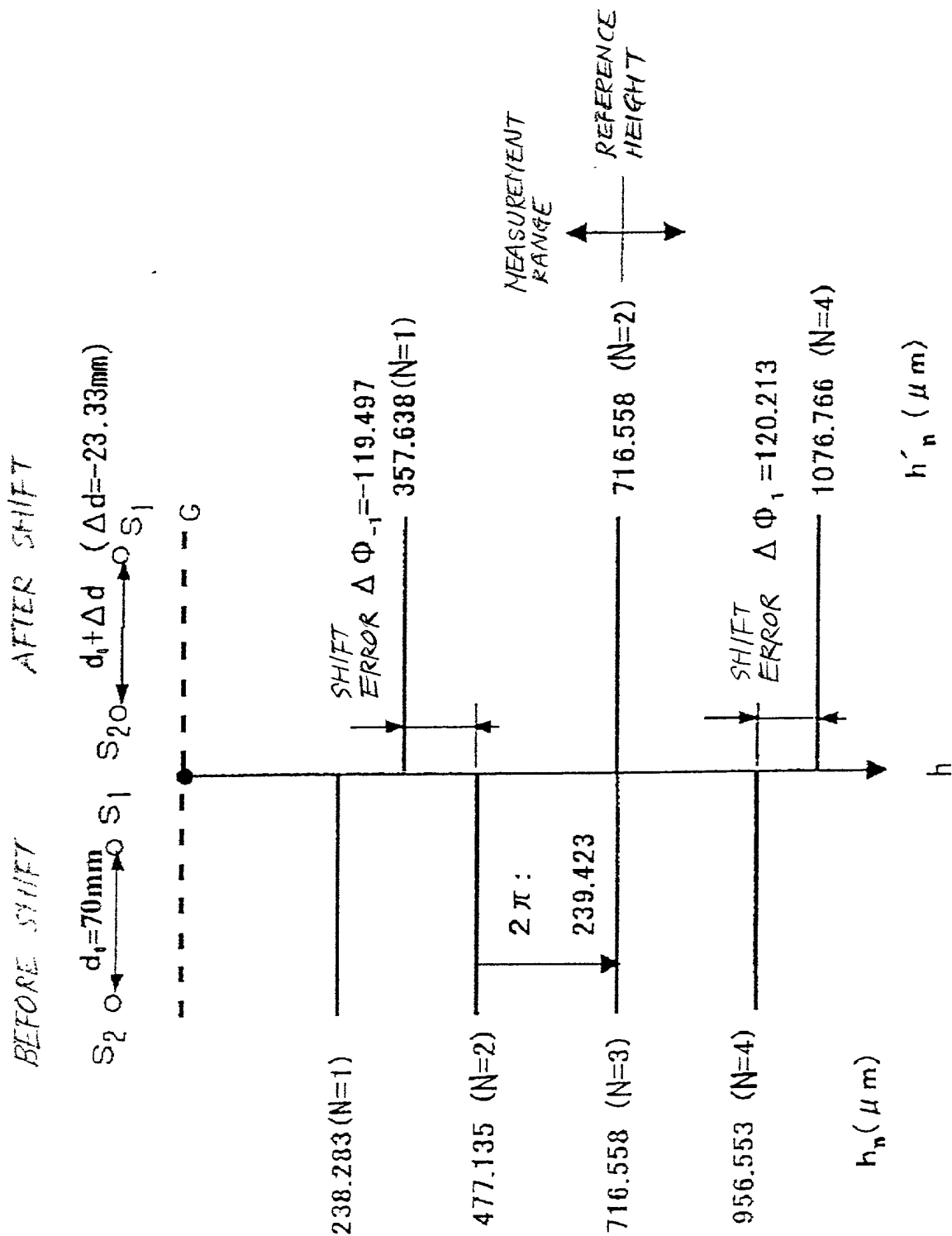
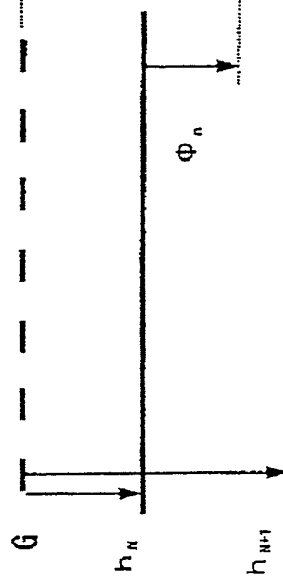


FIG. 11

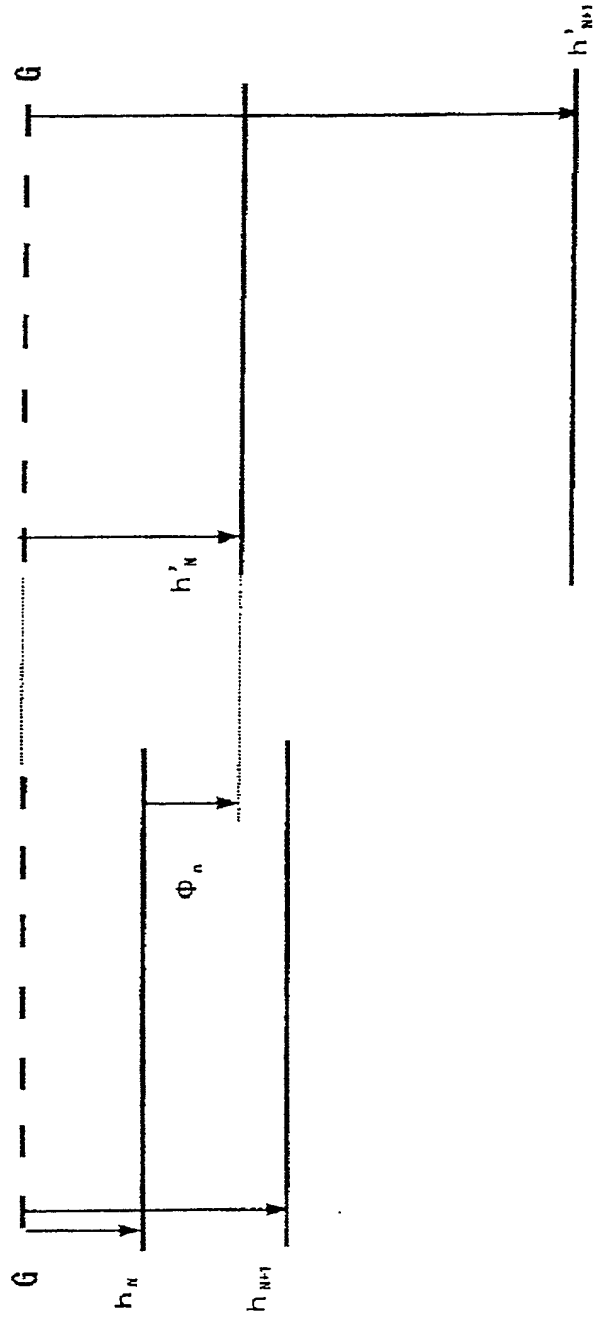
BEFORE SHIFT

$$S_2 \quad O \quad \xrightarrow{d_0} OS_1$$



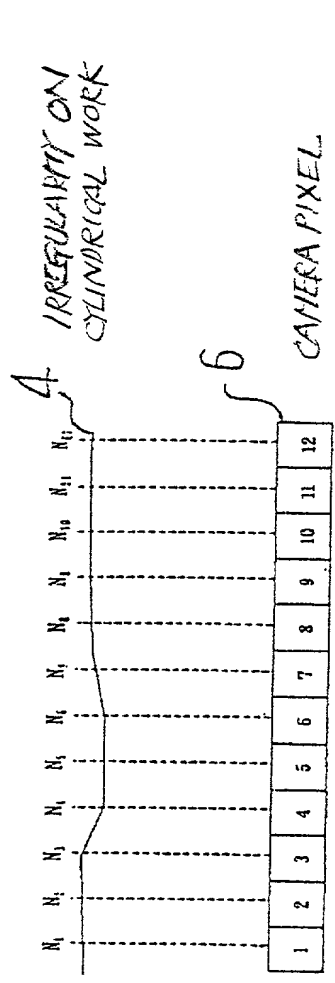
AFTER SHIFT

$$S_2 \quad O \quad \xrightarrow{d_0 + \Delta d} OS_1$$



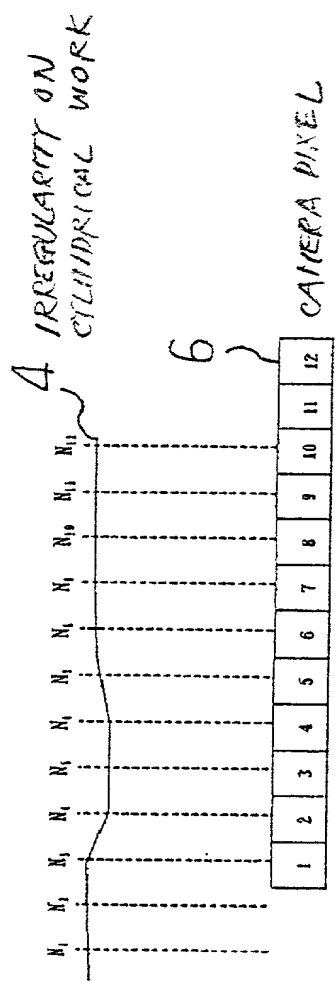
1ST

FIG. 12A



2ND

FIG. 12B



3RD

FIG. 12C

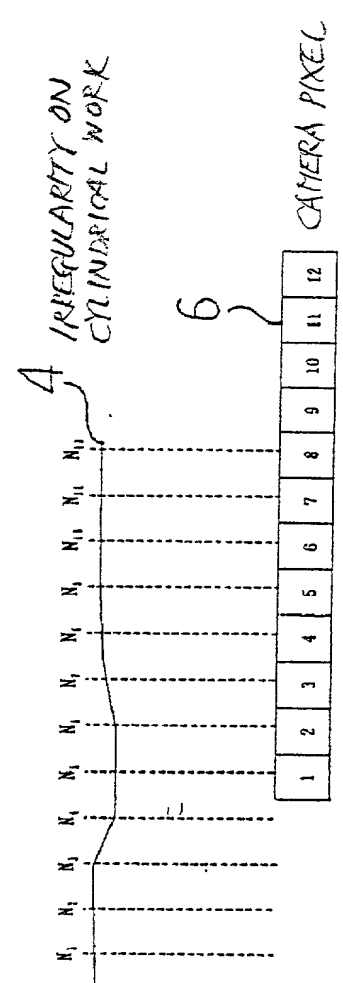


FIG. 13

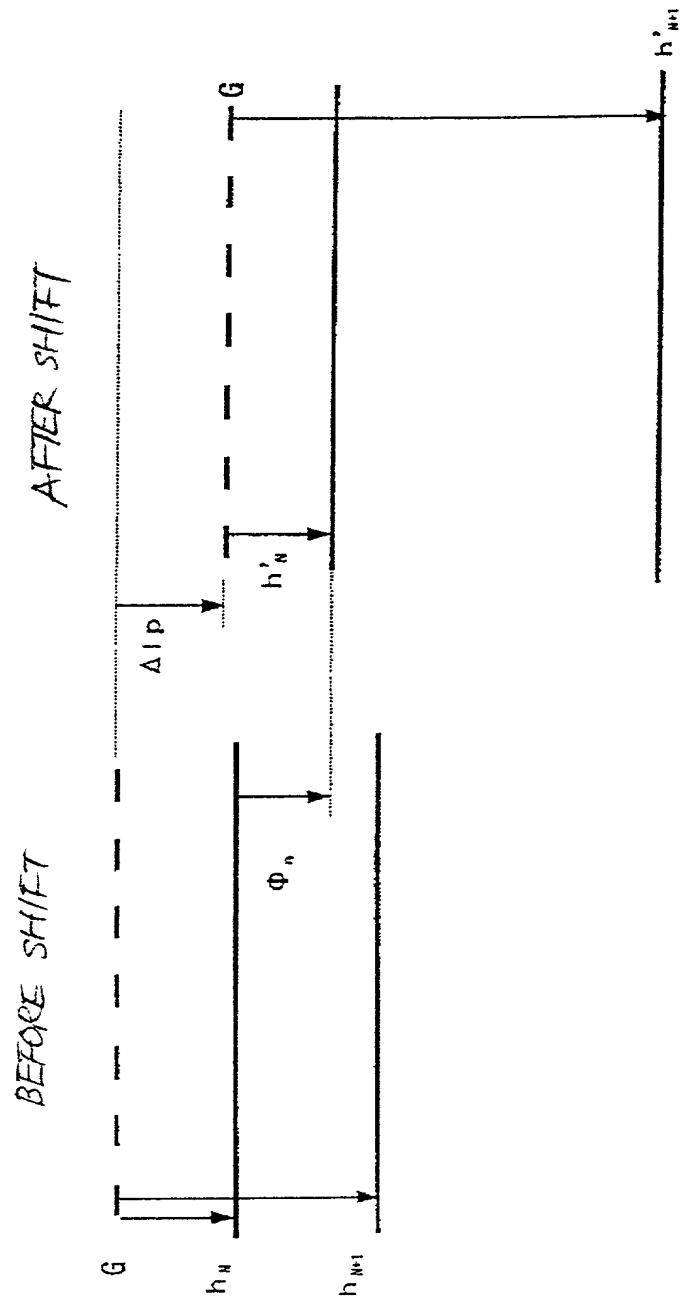


FIG. 14

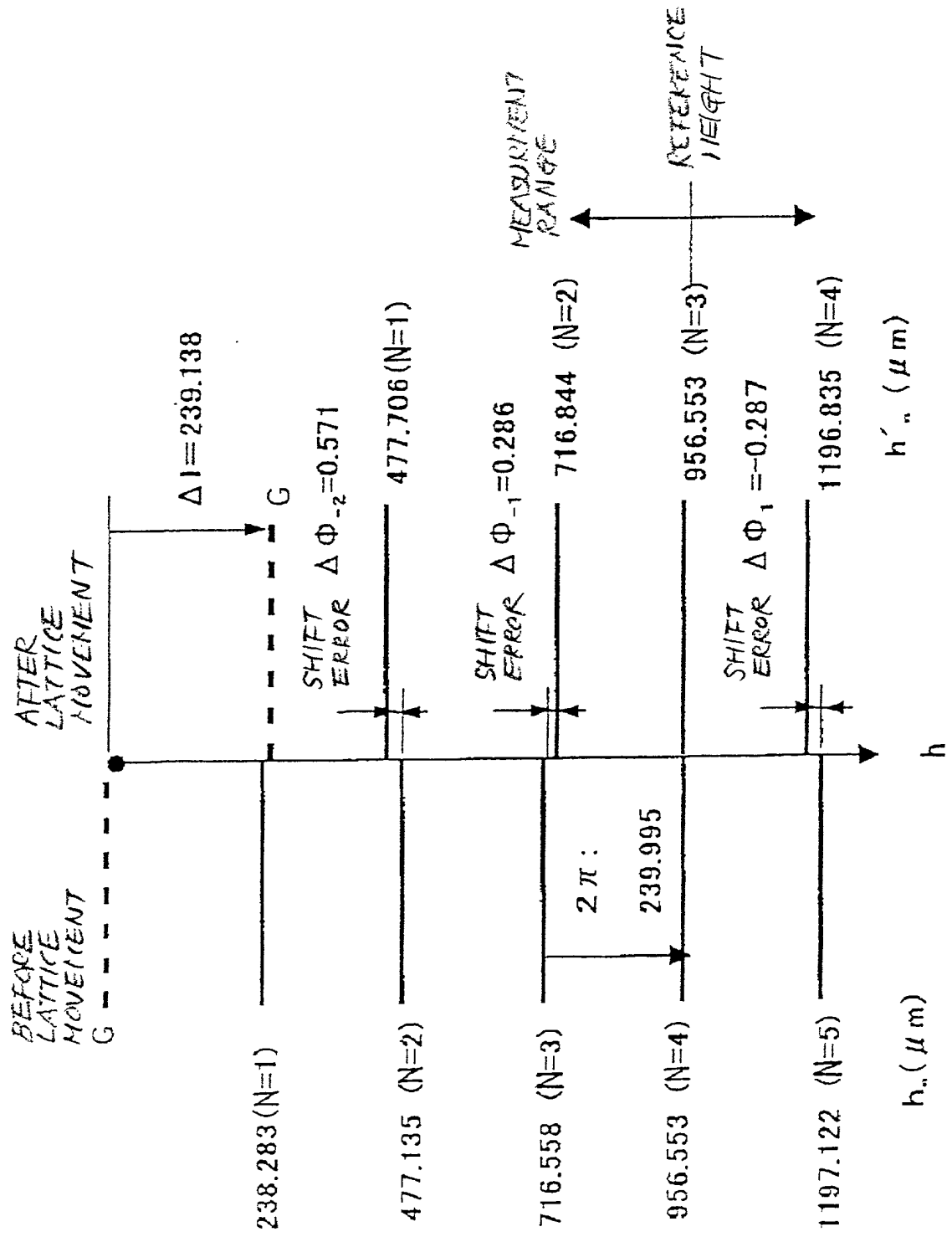


FIG. 15

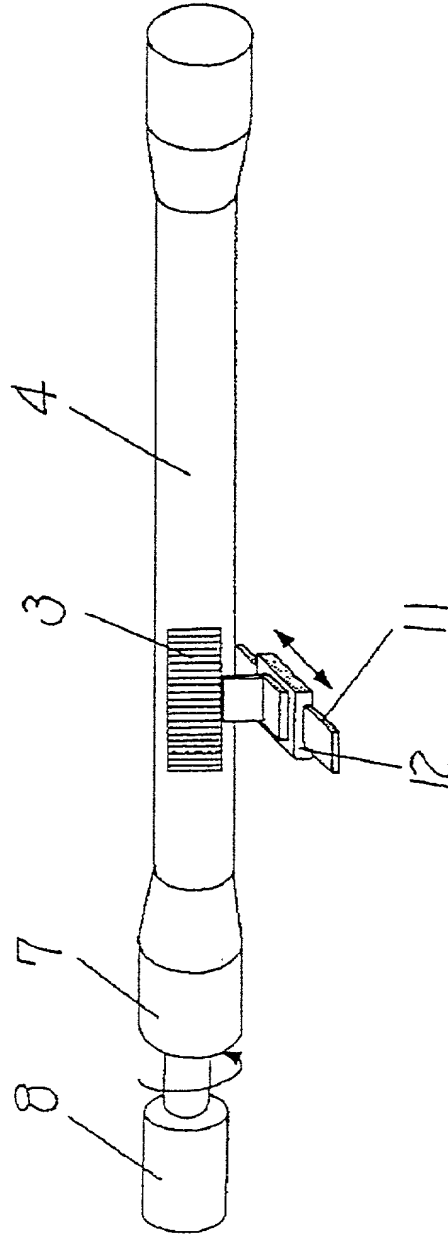


FIG. 16A

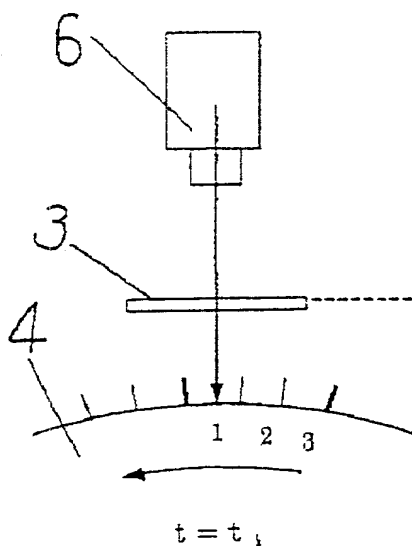


FIG. 16B

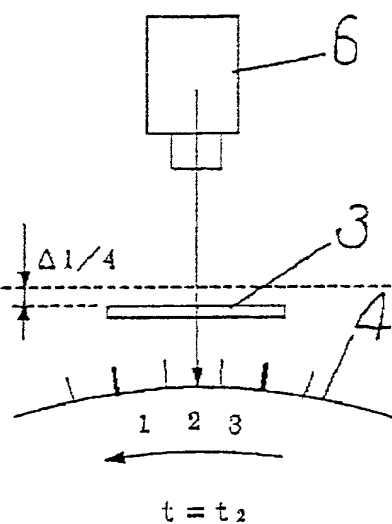


FIG. 16C

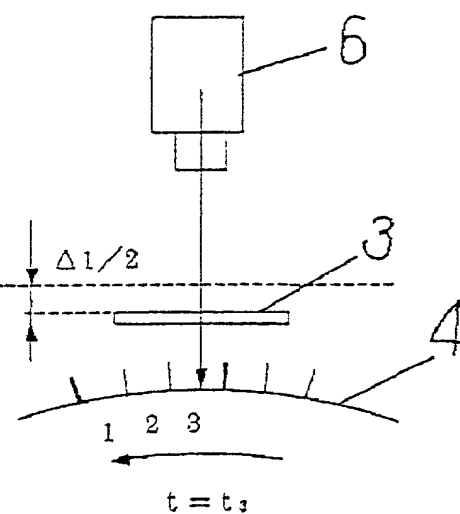


FIG. 16D

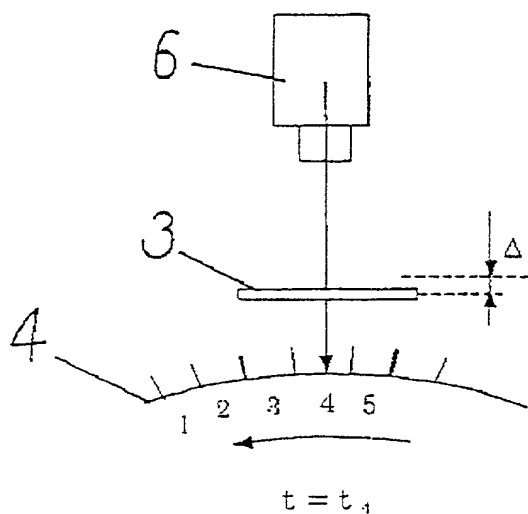


FIG. 16E

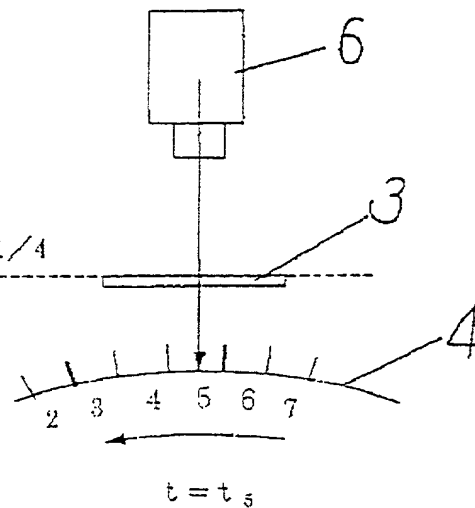


FIG. 17A

LATTICE MOVEMENT

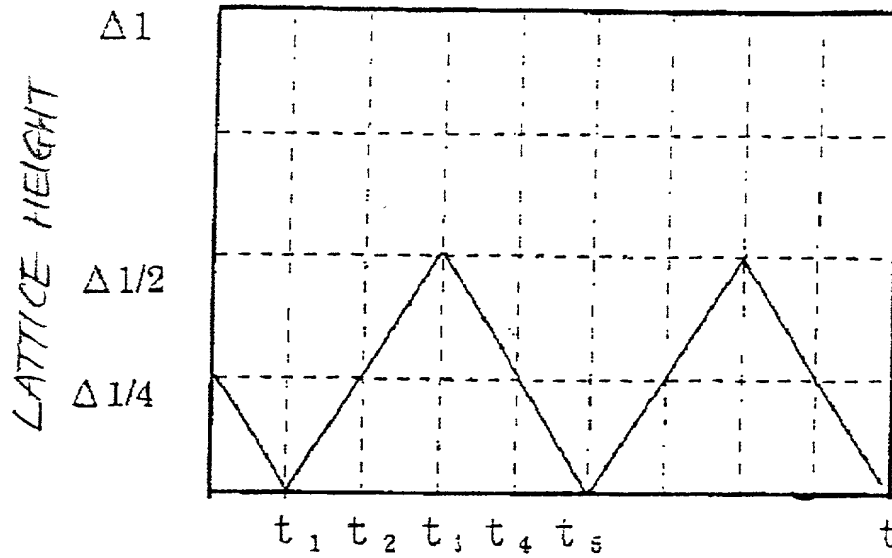


FIG. 17B

LINE SENSOR PICKUP TIMING

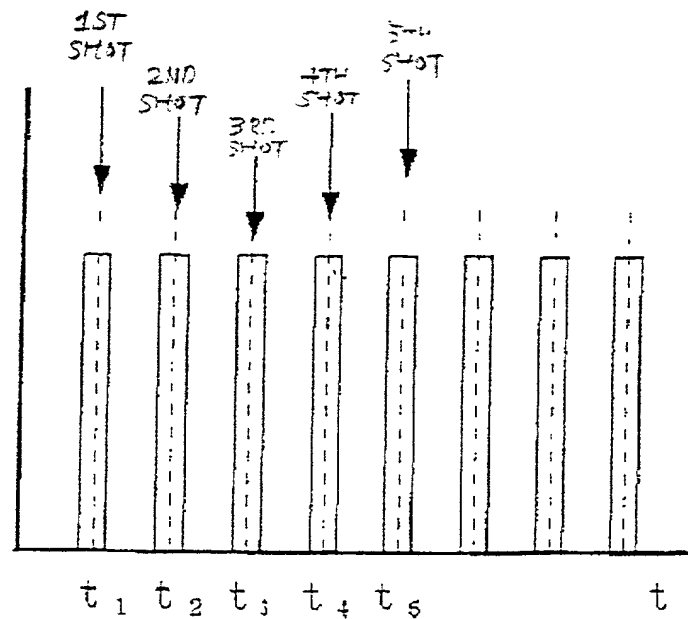


FIG. 18

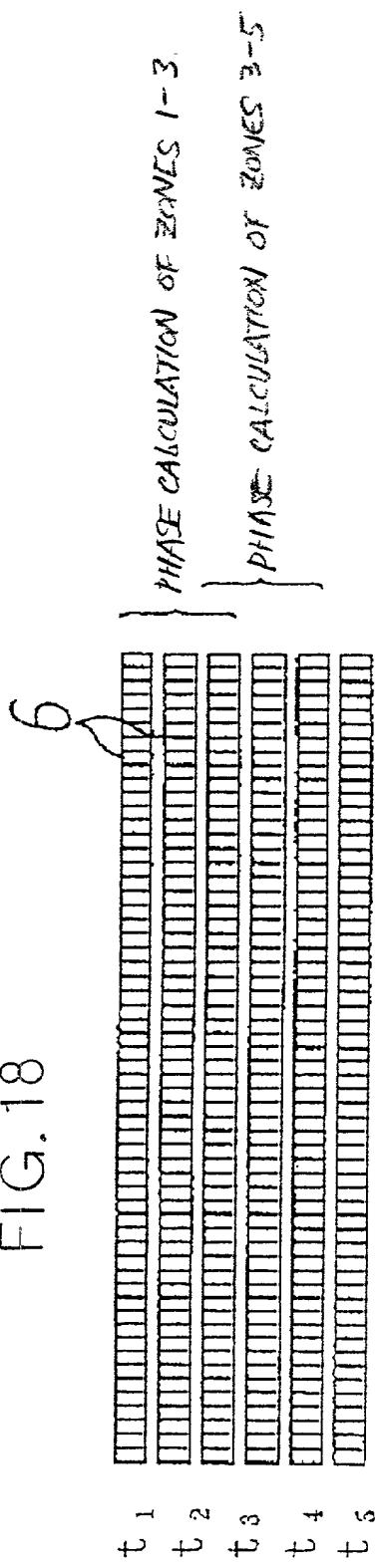


FIG. 19

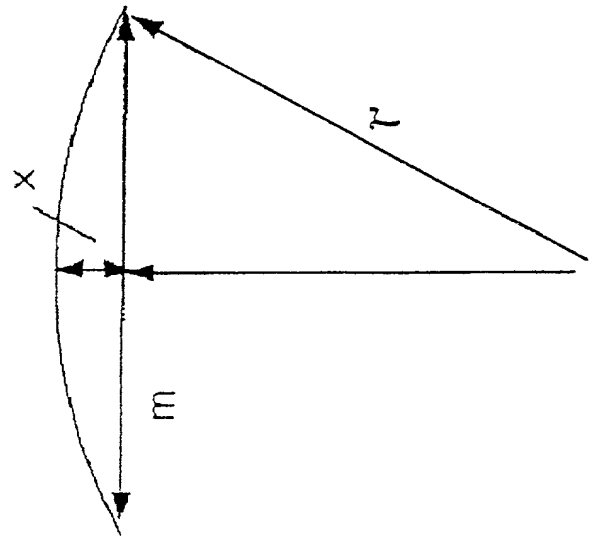


FIG. 20

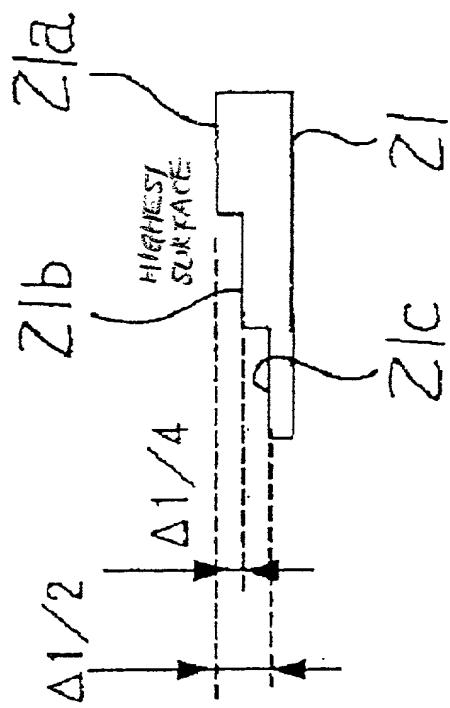


FIG. 21A

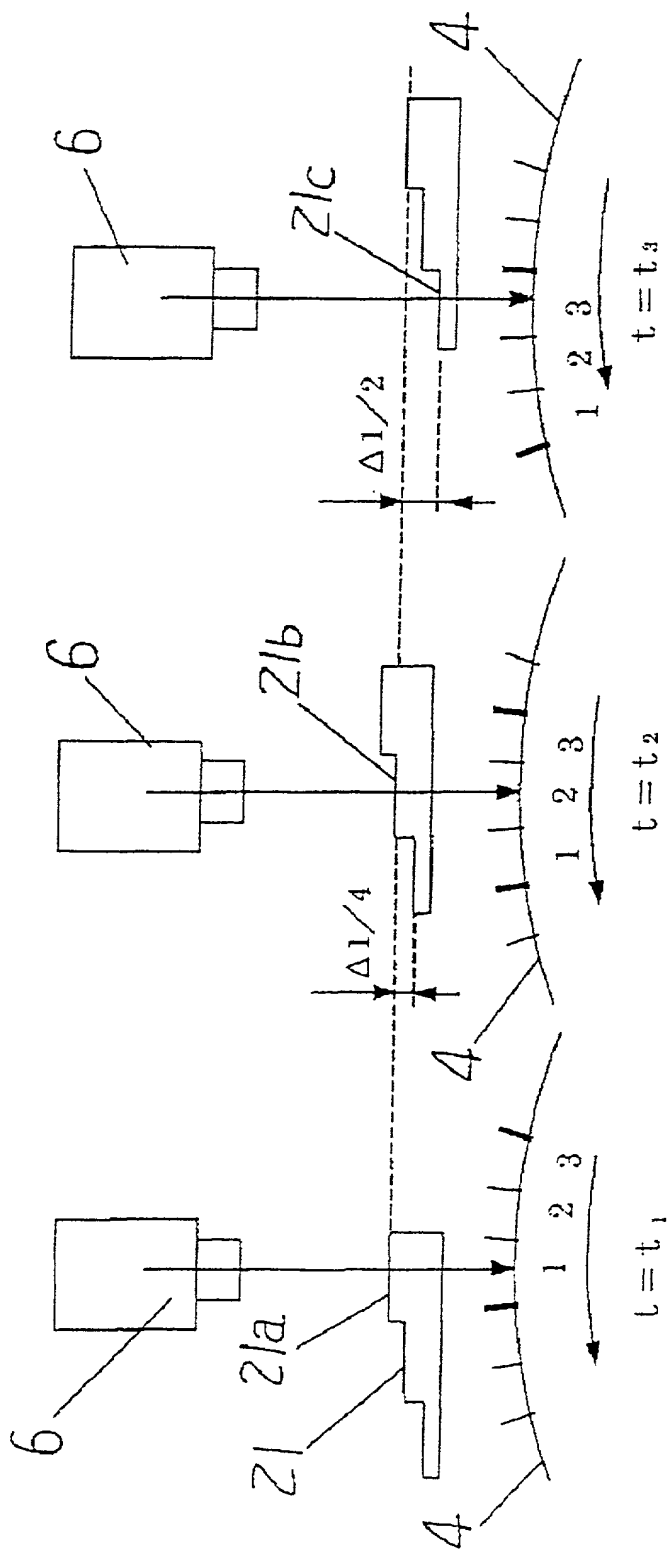


FIG. 21B

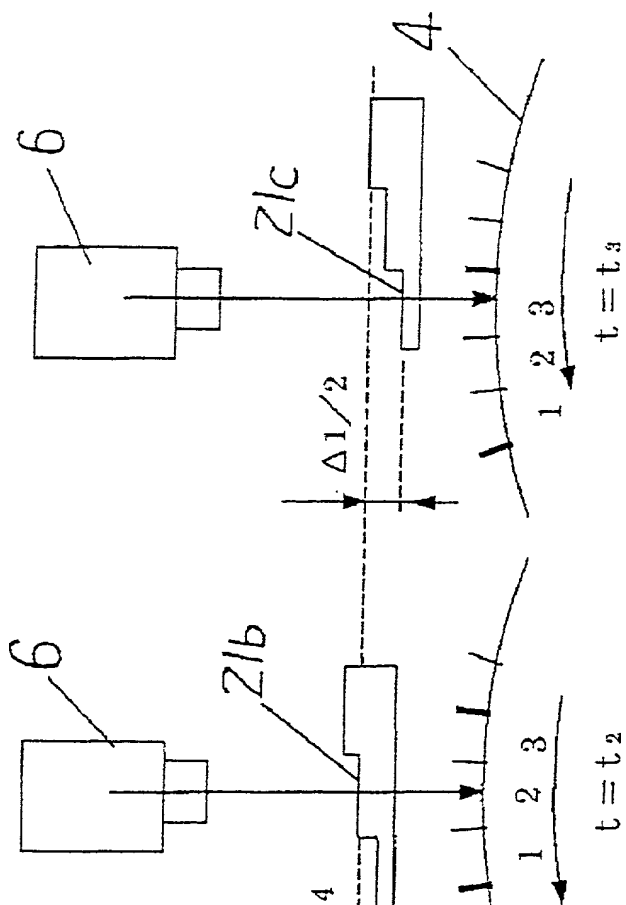


FIG. 21C

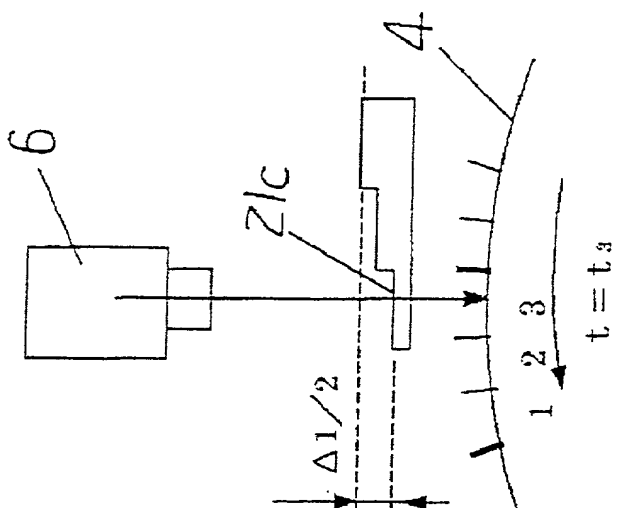


FIG. 22A

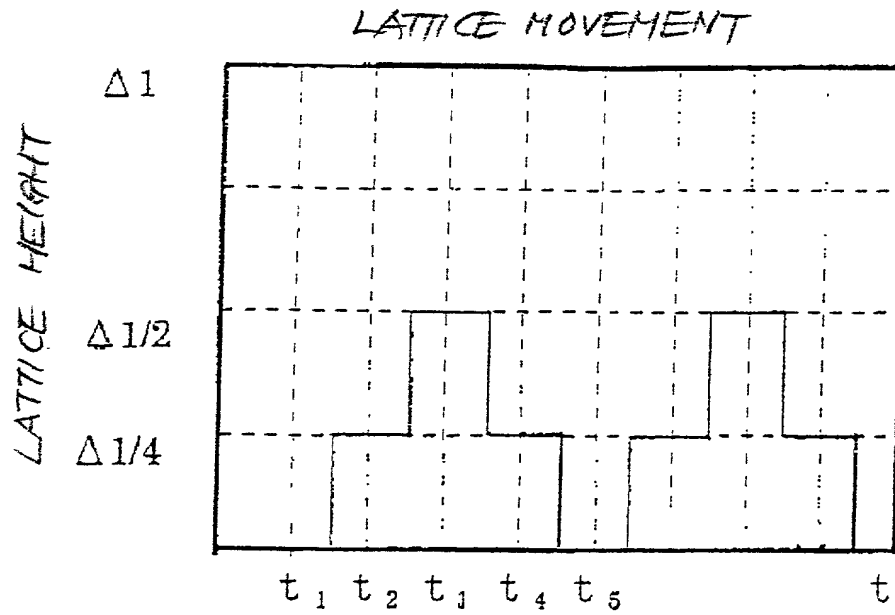


FIG. 22B

LINE SENSOR PICKUP TIMING

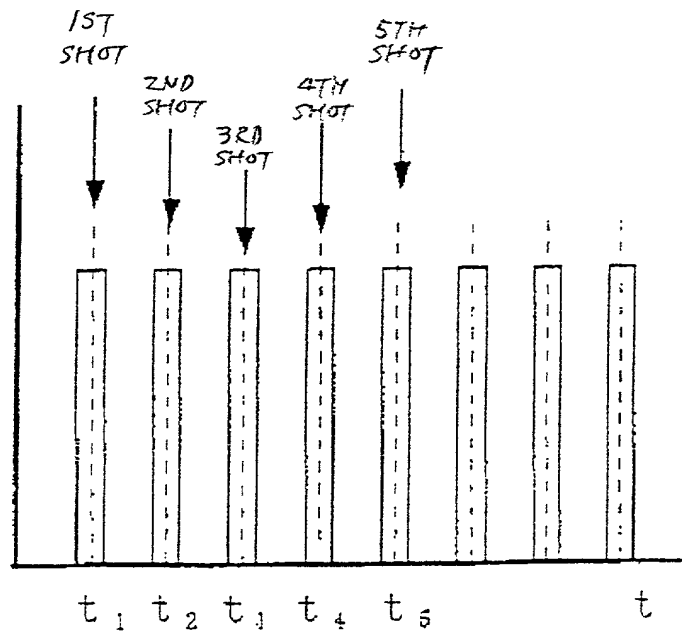


FIG. 23

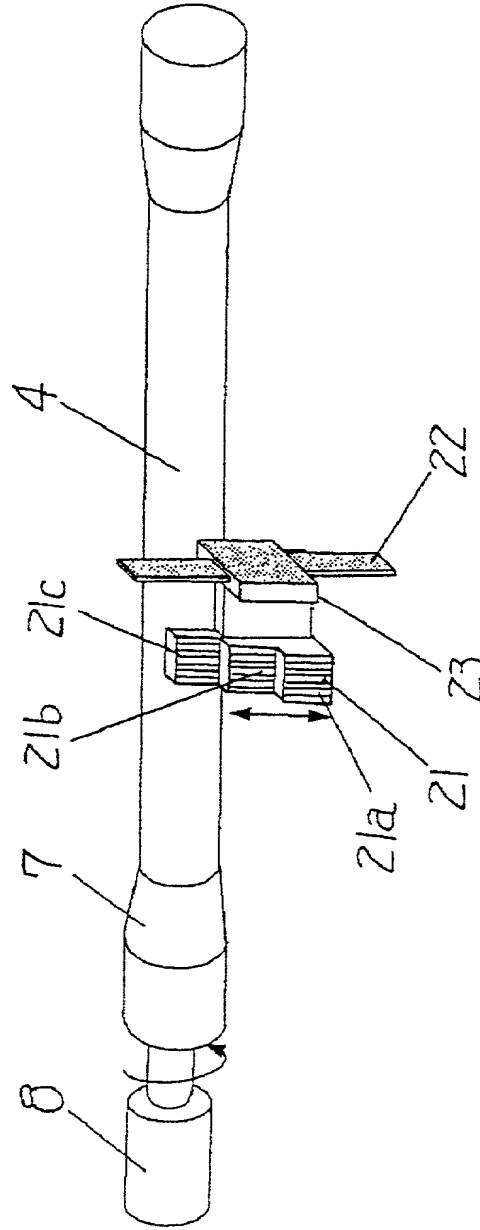


FIG. 24A

FIG. 24B

FIG. 24C

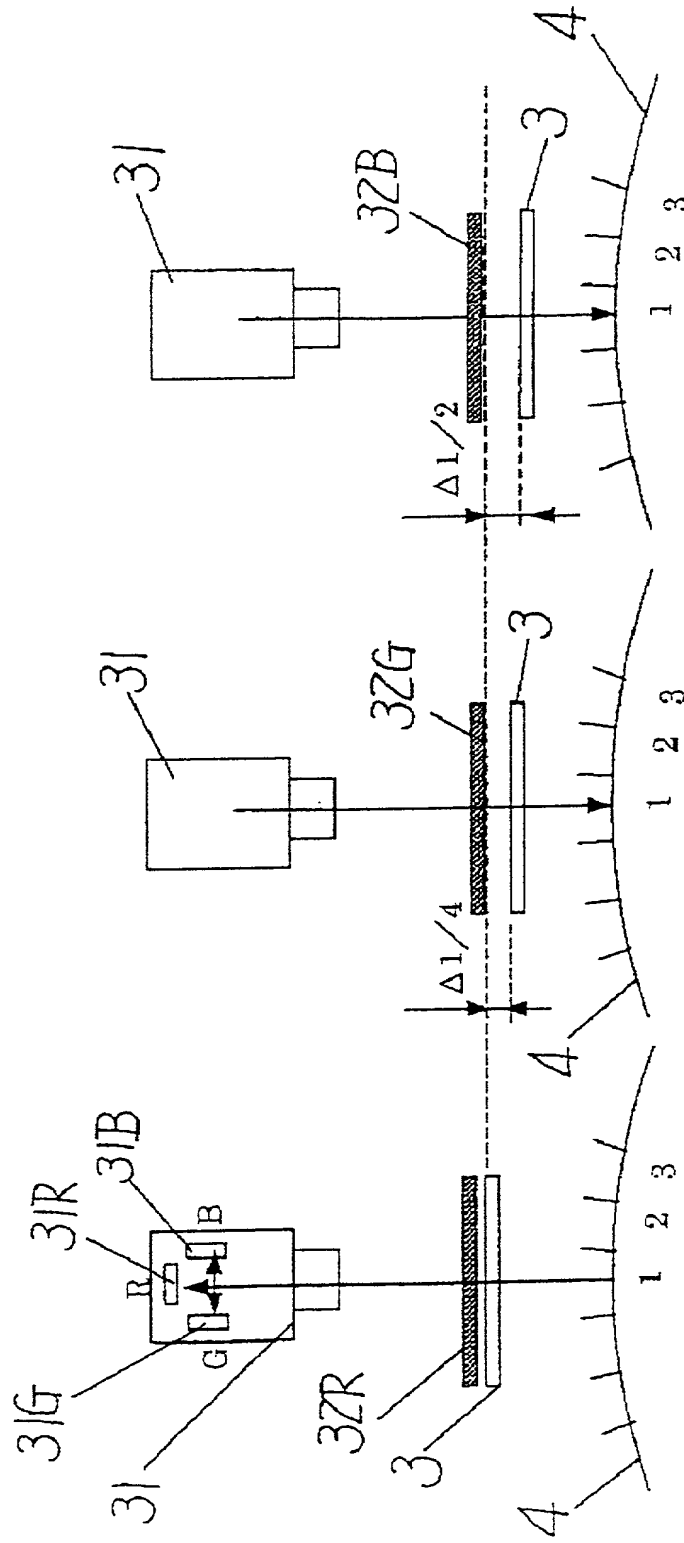


FIG. 25A

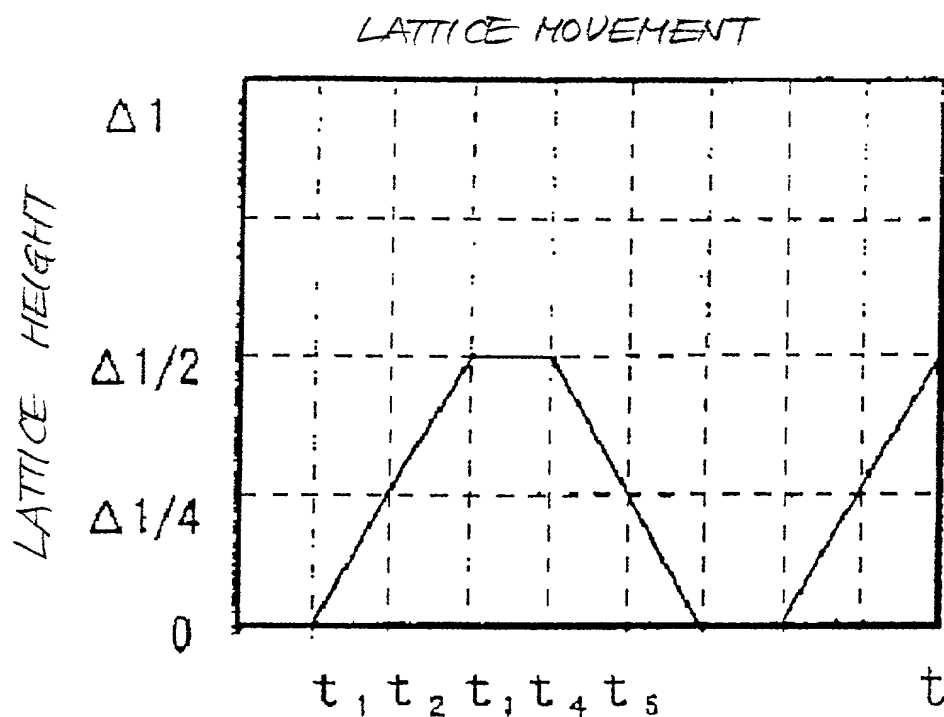
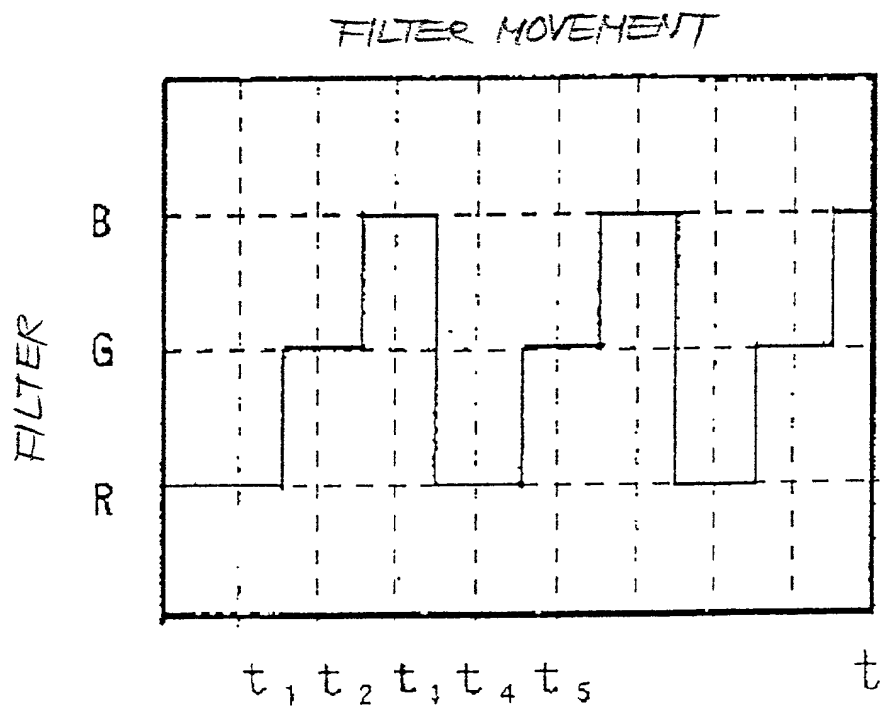


FIG. 25B



LINE SENSOR PICKUP TIMING

FIG. 25C

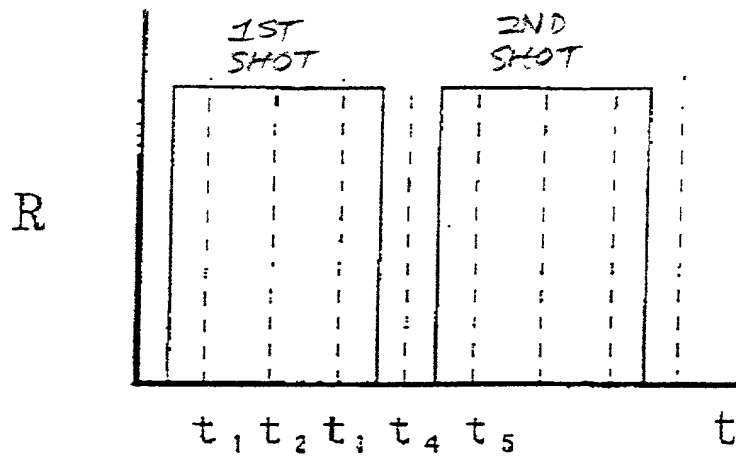


FIG. 25D

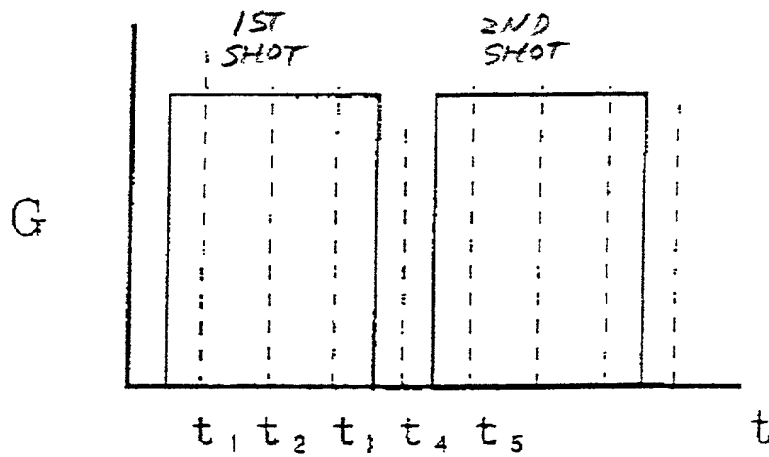


FIG. 25E

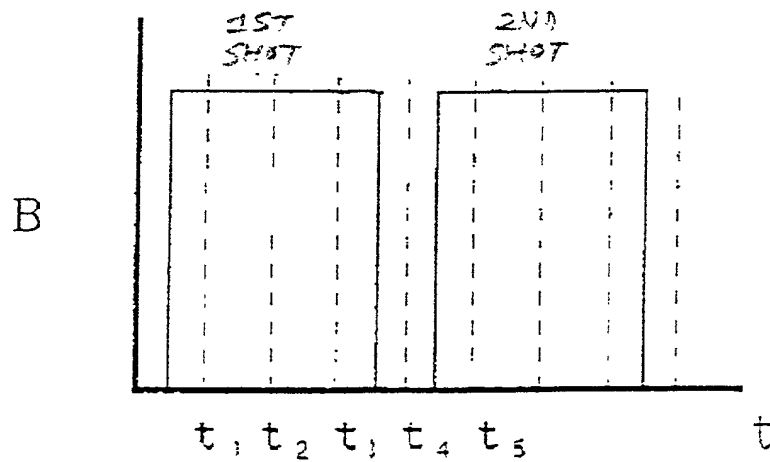


FIG. 26

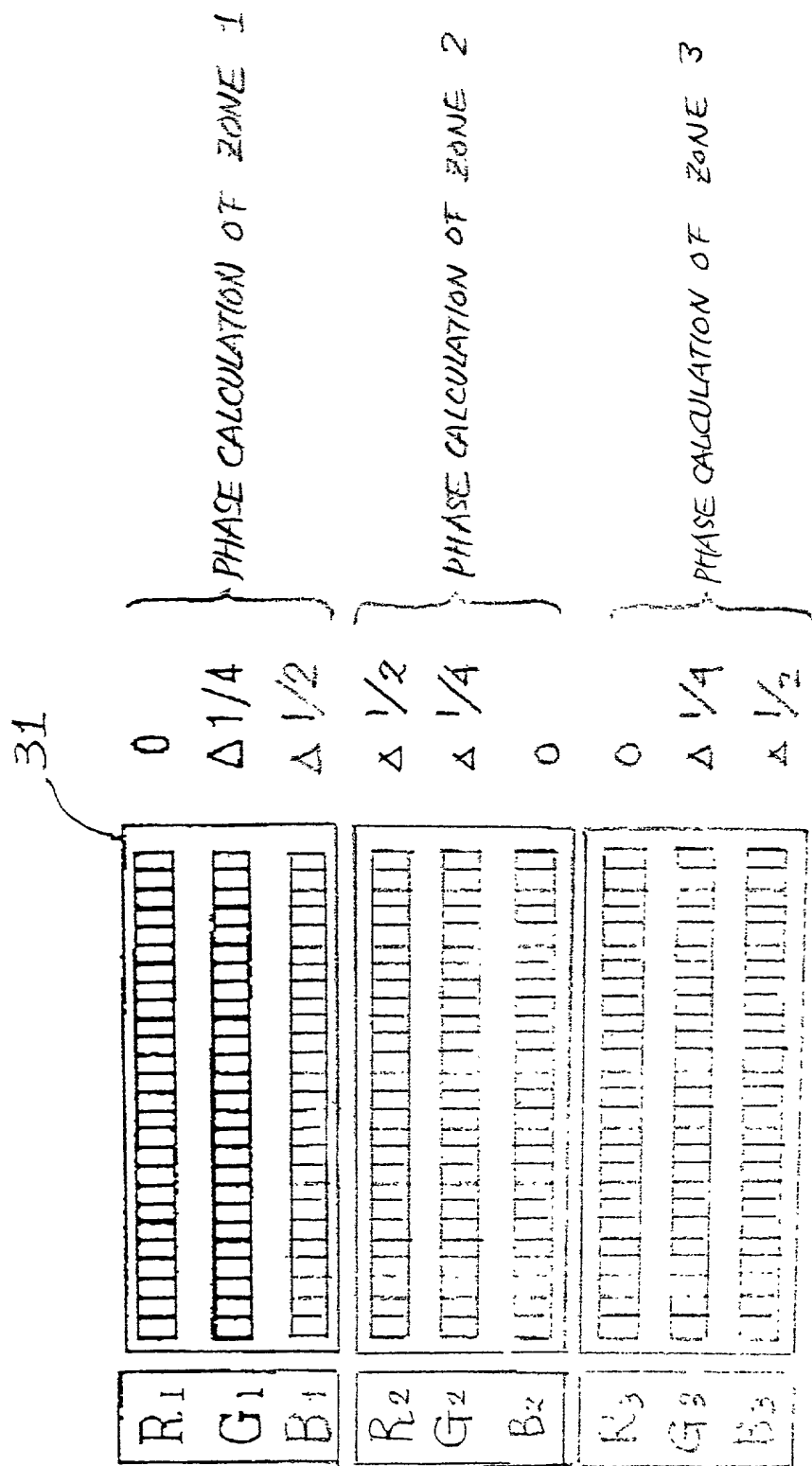


FIG. 27A

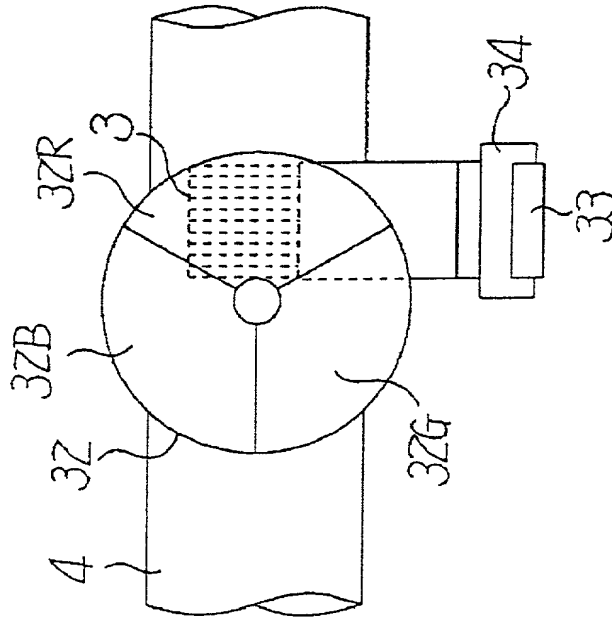


FIG. 27B

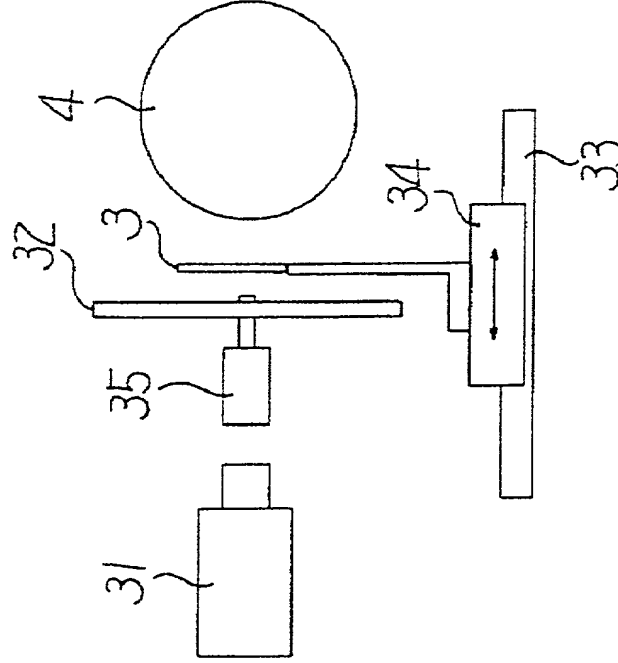


FIG. 28A

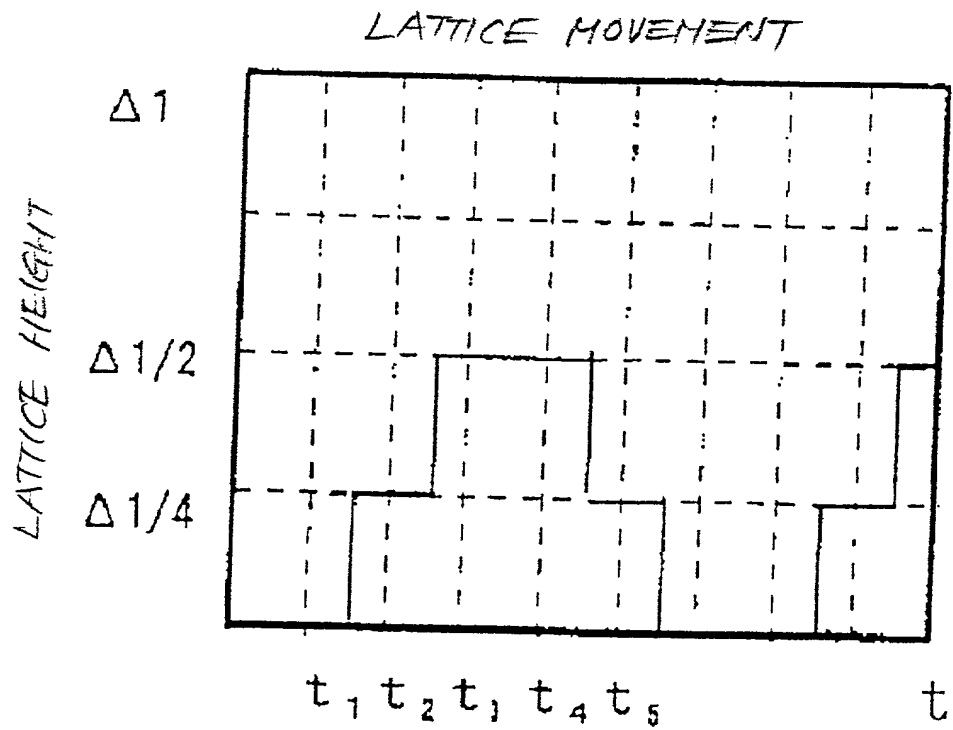


FIG. 28B

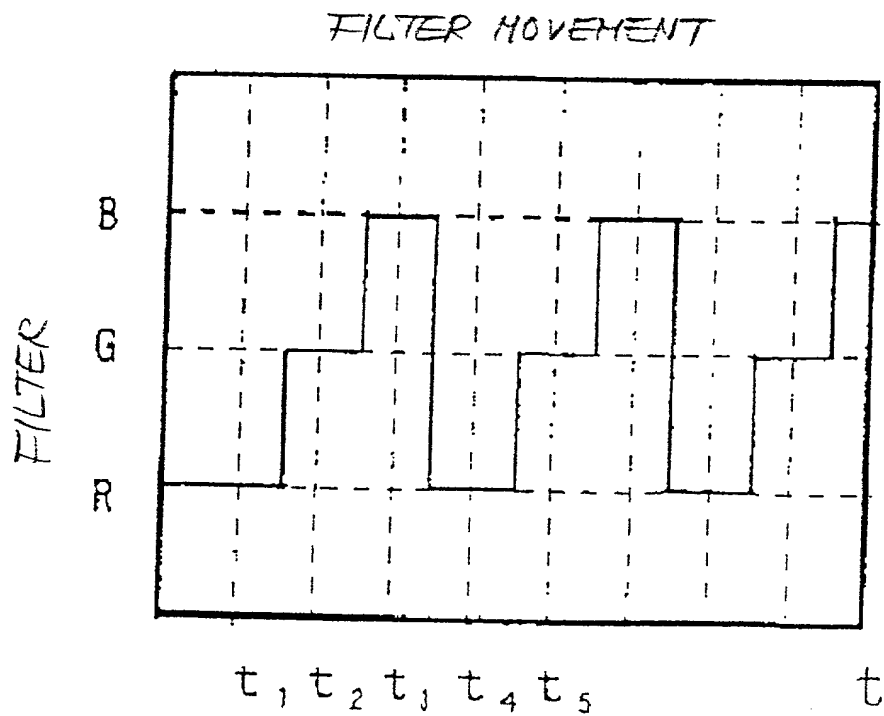


FIG. 28C

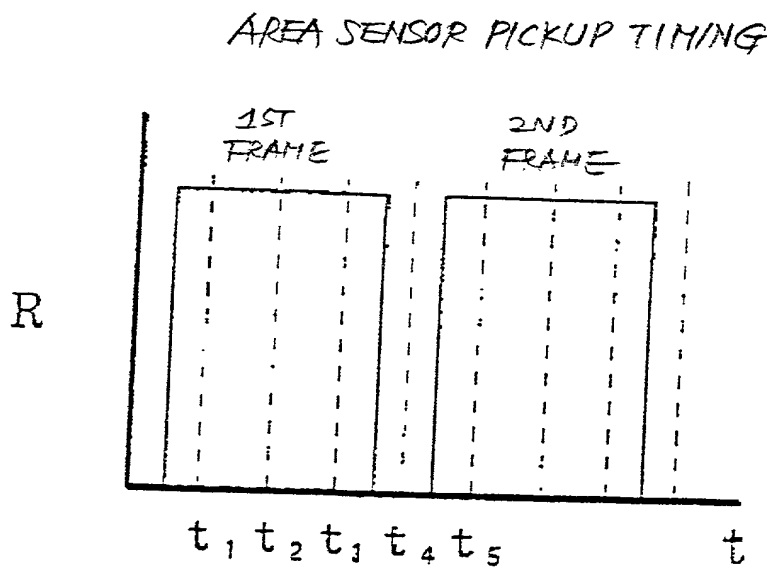


FIG. 28D

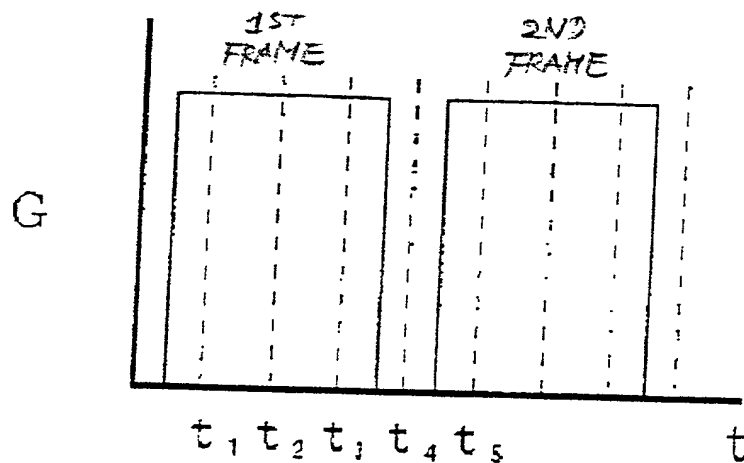


FIG. 28E

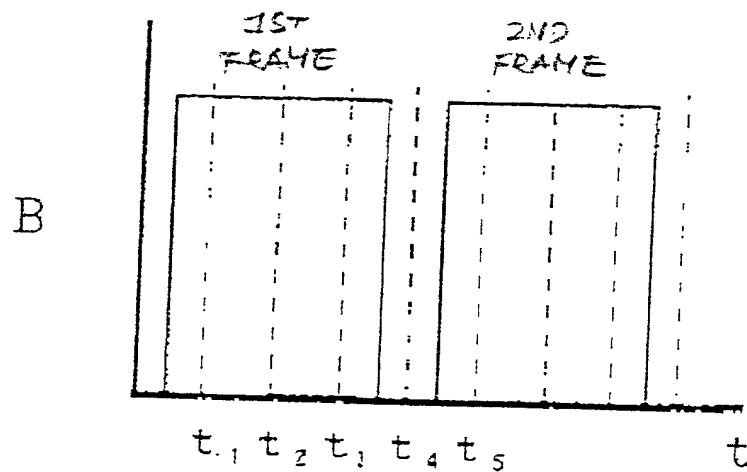


FIG. 29

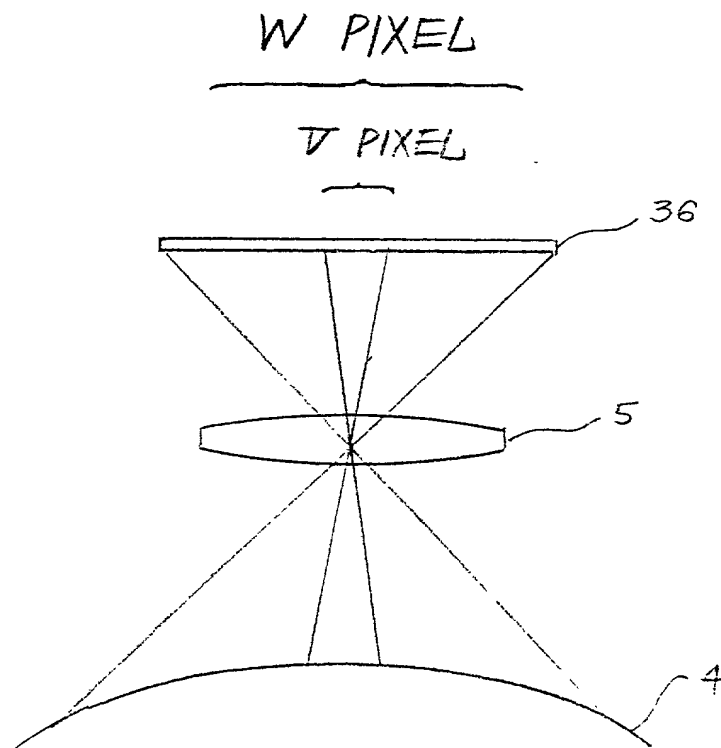


FIG. 30A

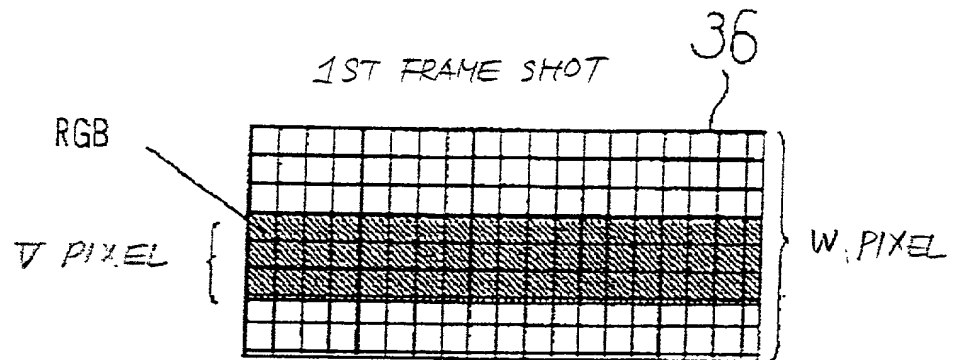


FIG. 30B

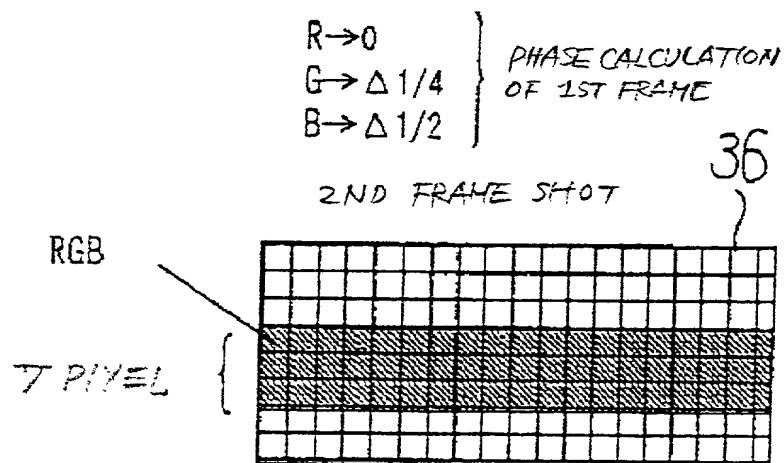


FIG. 30C

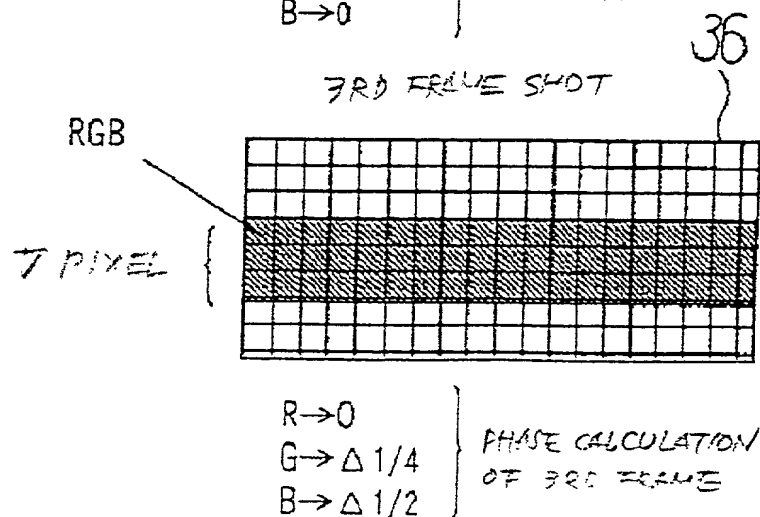


FIG. 31B

FIG. 31C

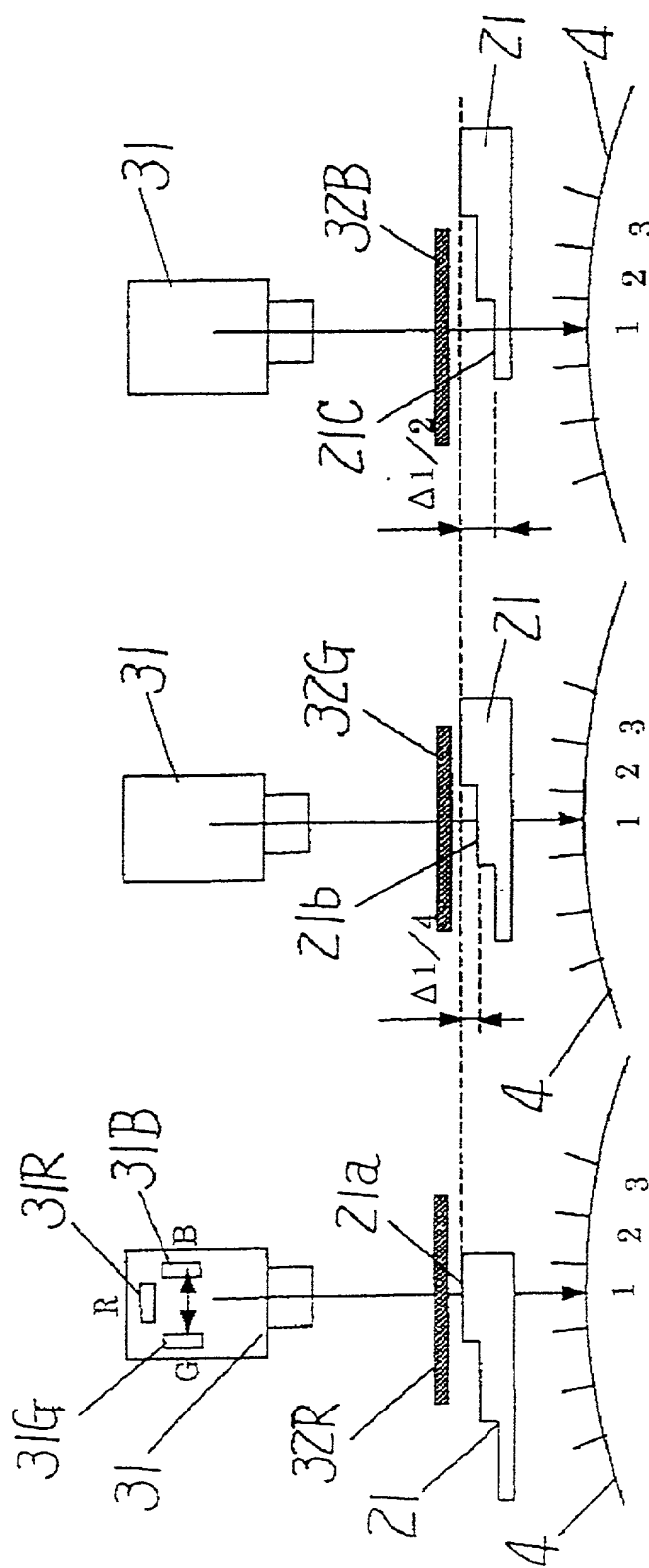


FIG. 32A

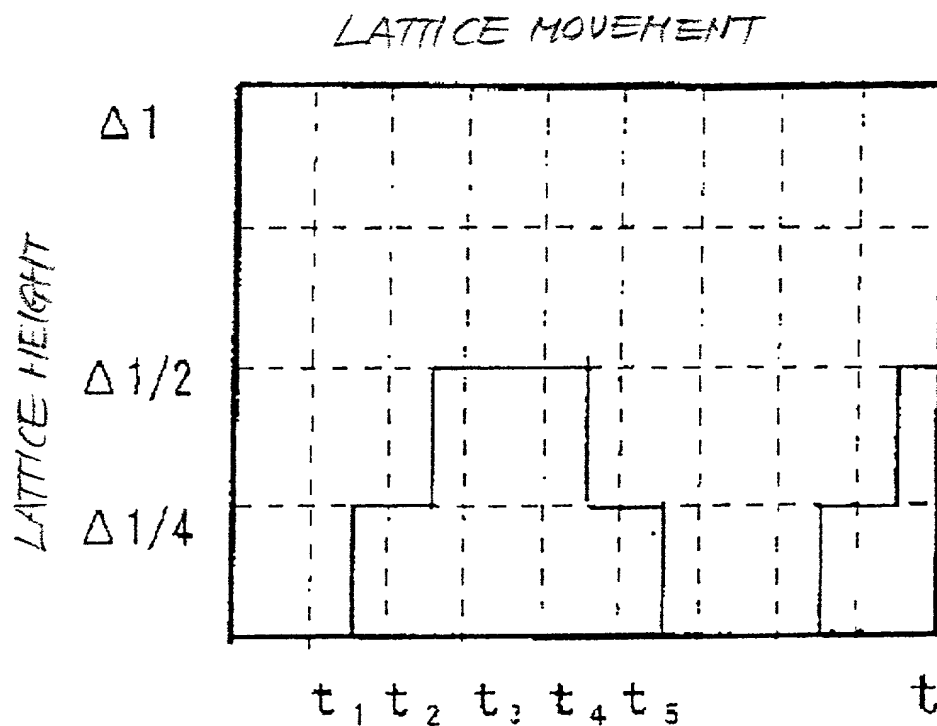


FIG. 32B

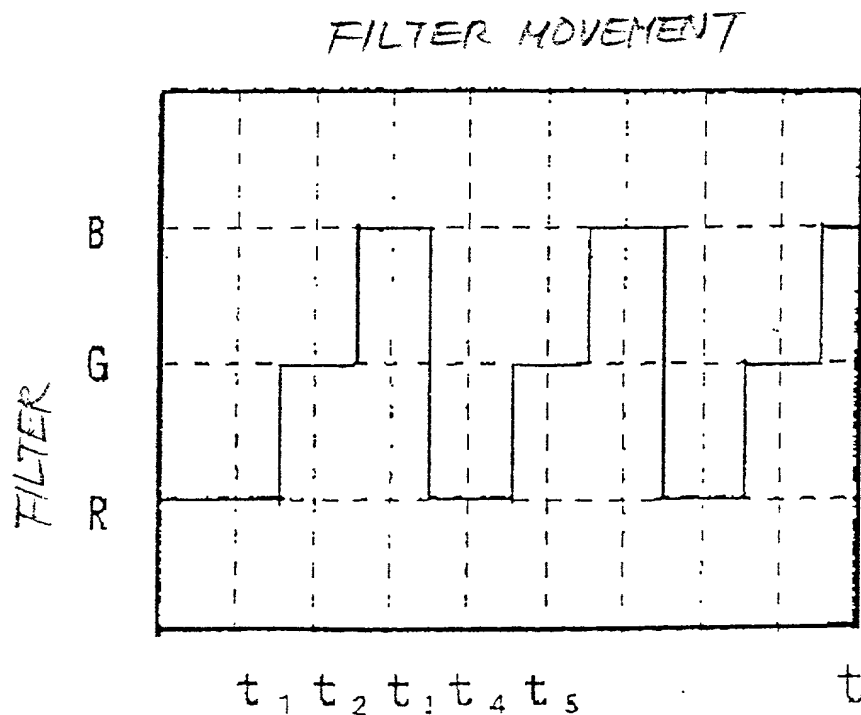


FIG. 32C

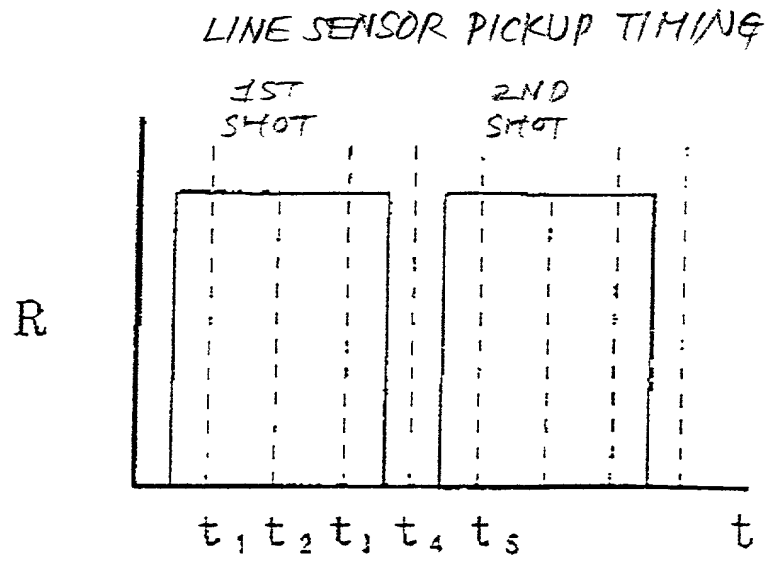


FIG. 32D

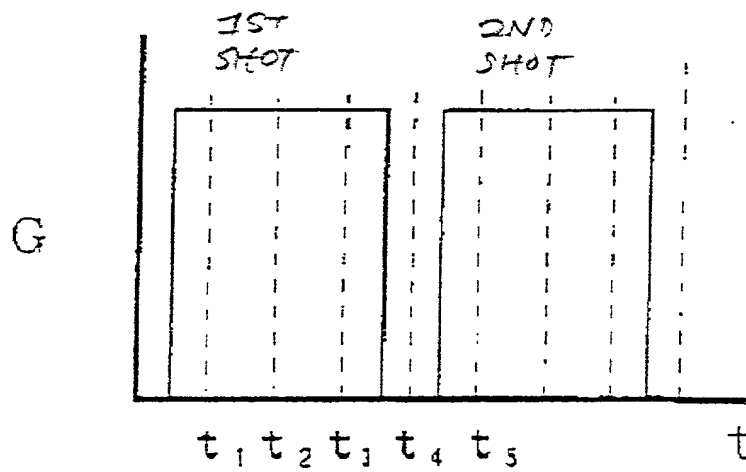


FIG. 32E

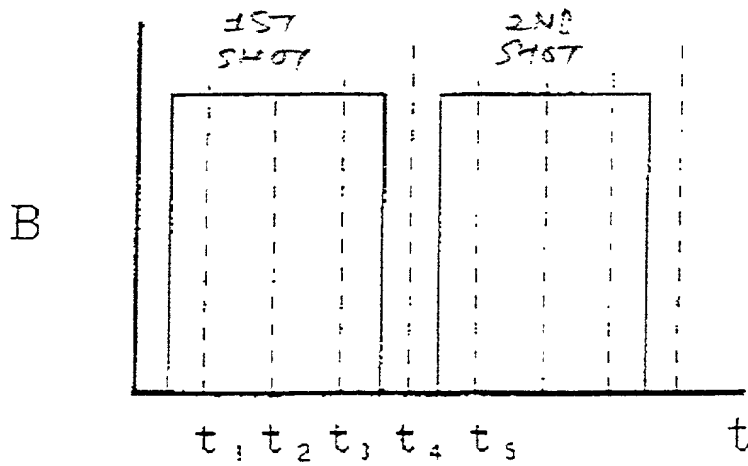


FIG. 33B

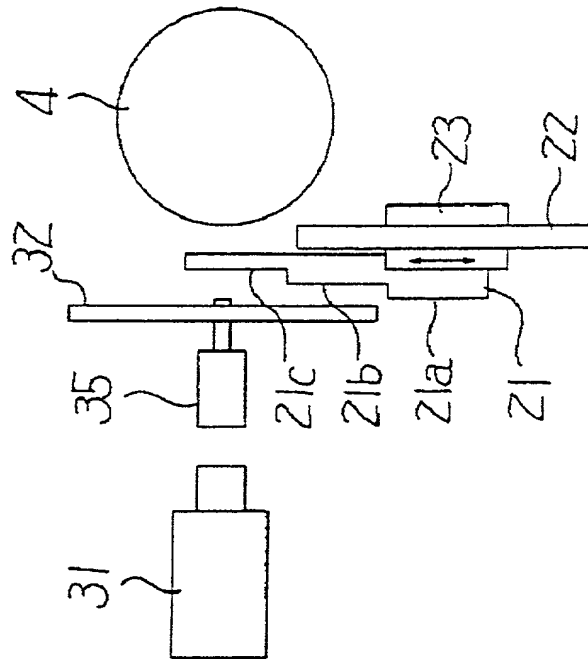


FIG. 34A

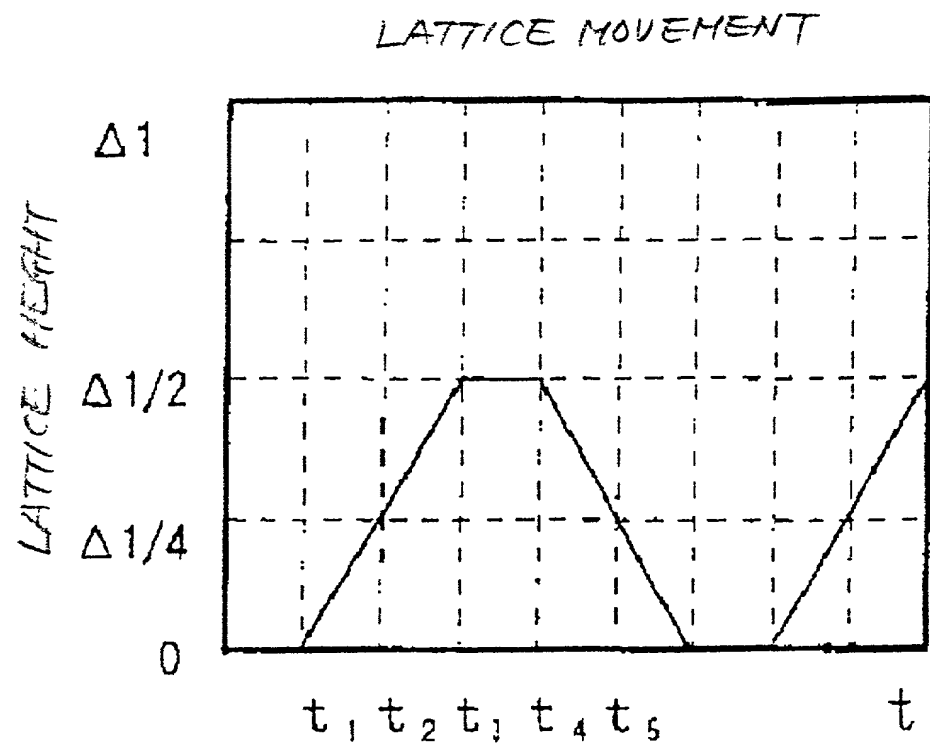


FIG. 34B

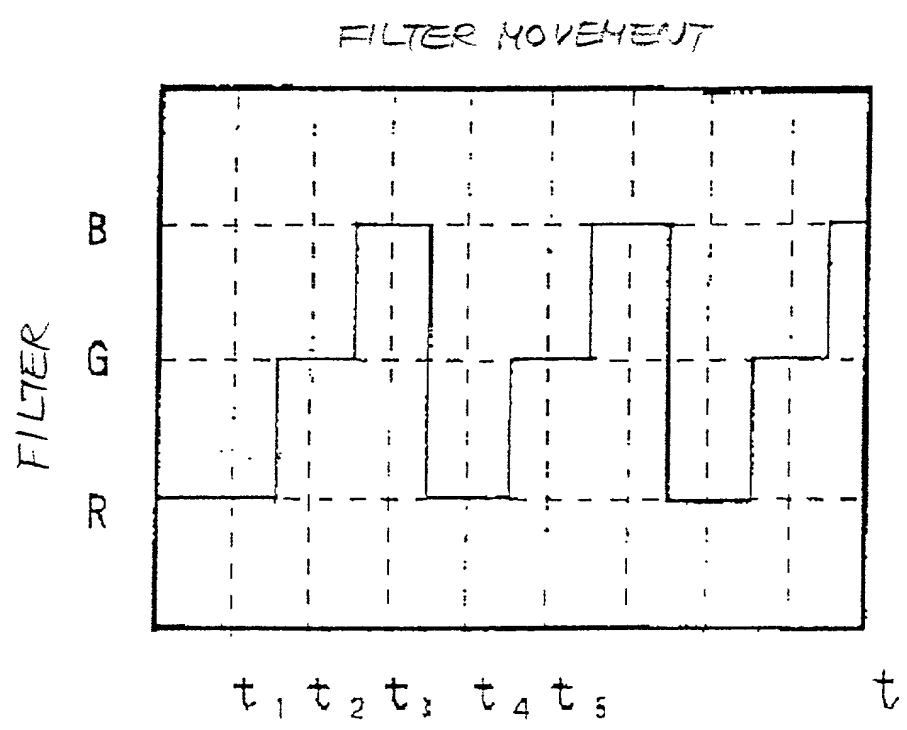


FIG. 34C

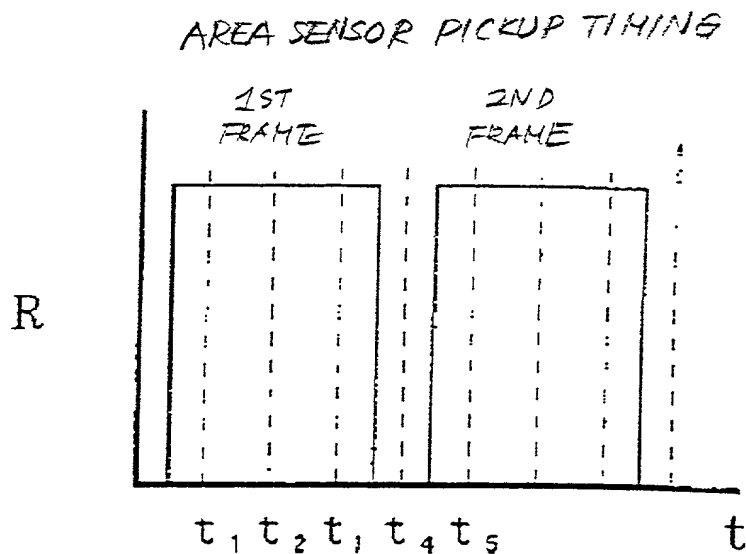


FIG. 34D

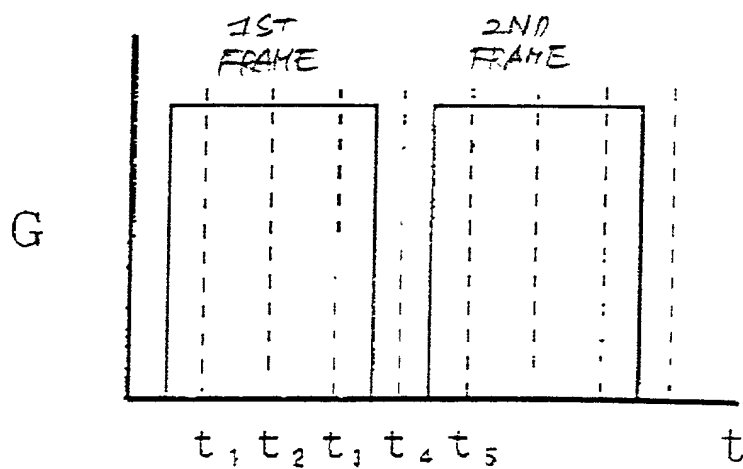


FIG. 34E

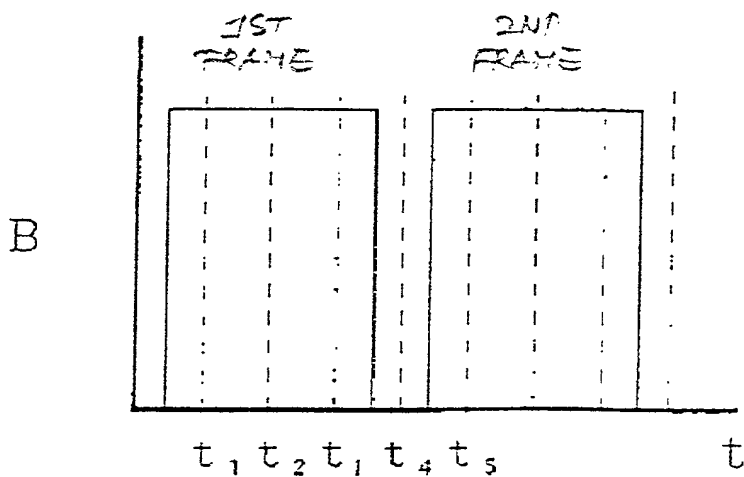
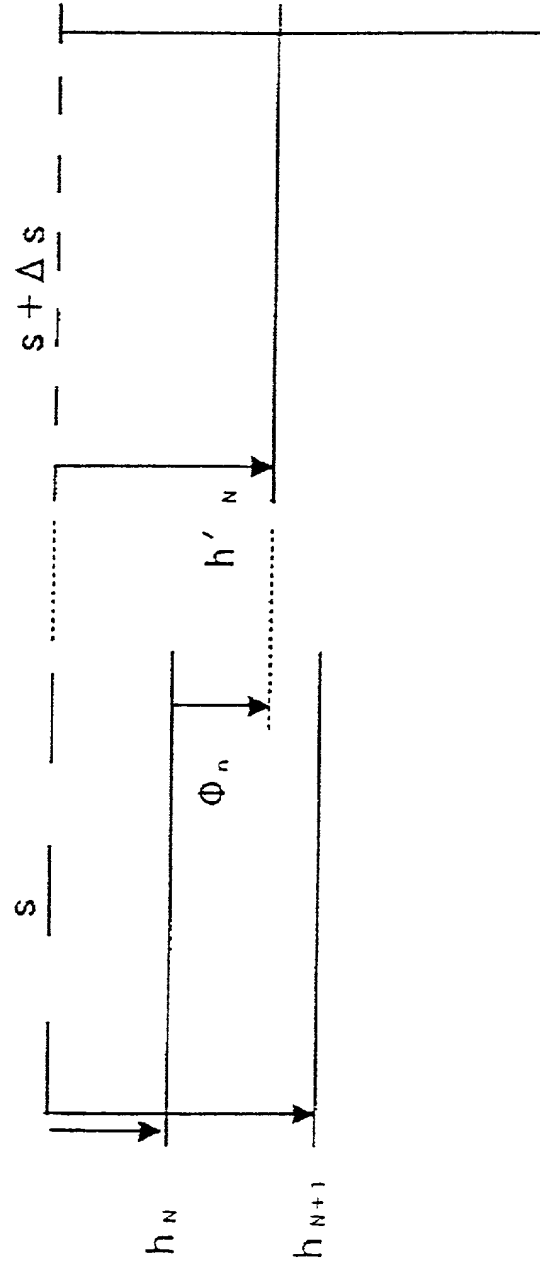


FIG. 35



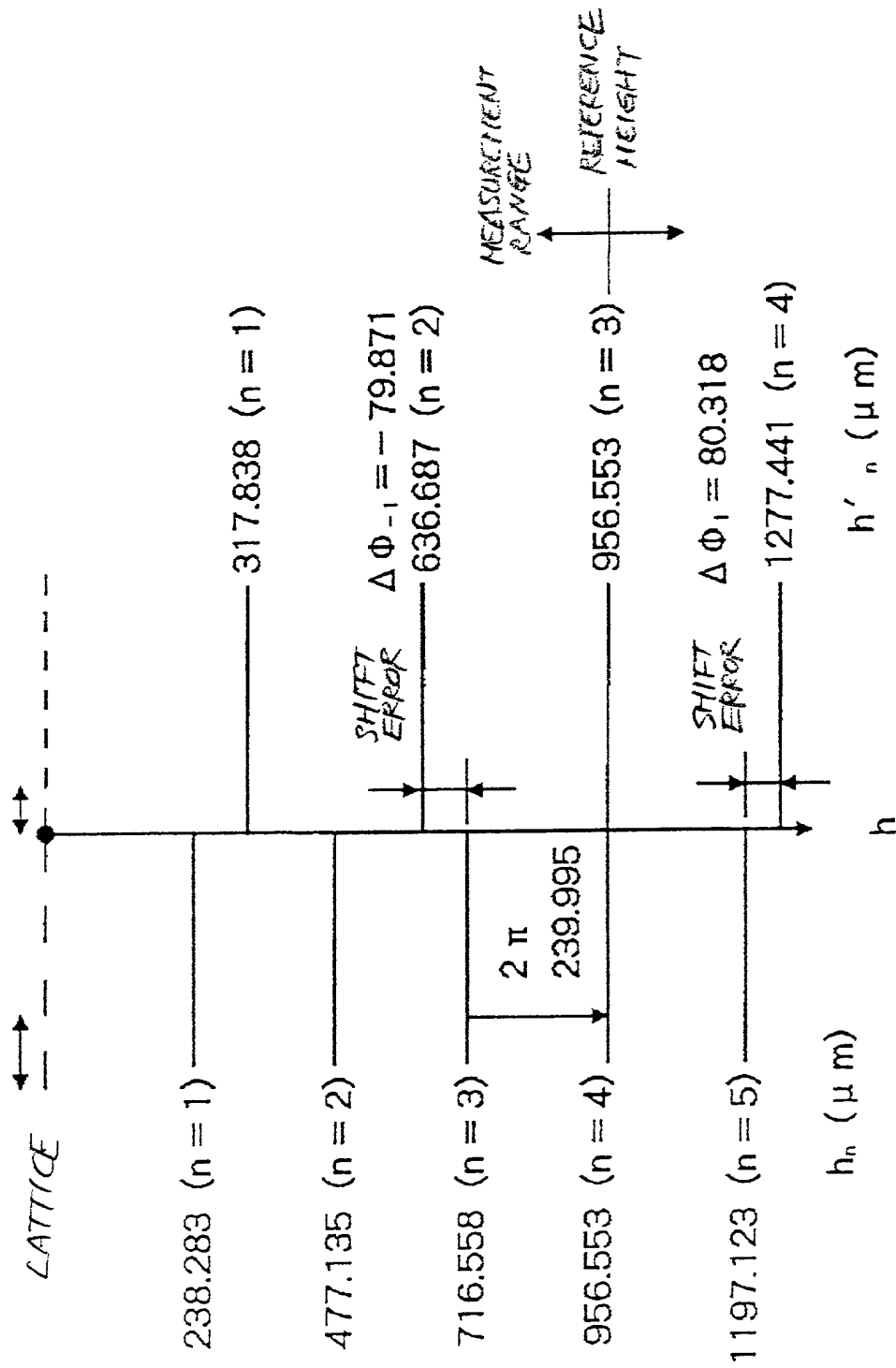
$s = 83.3 \mu\text{m} \quad s + \Delta s (\Delta s = 27.8 \mu\text{m})$ 

FIG. 37C



FIG. 38A

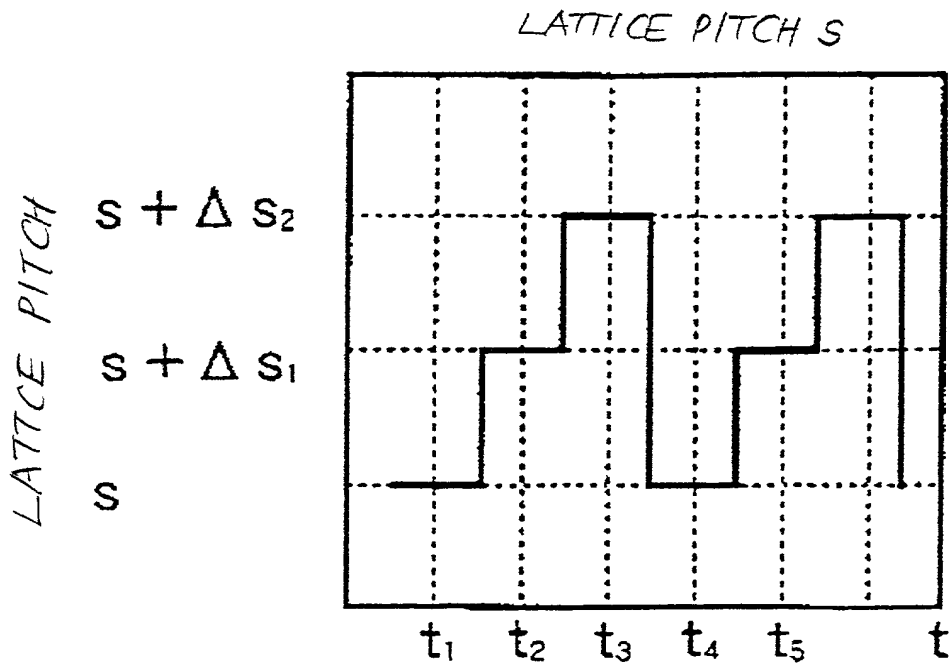
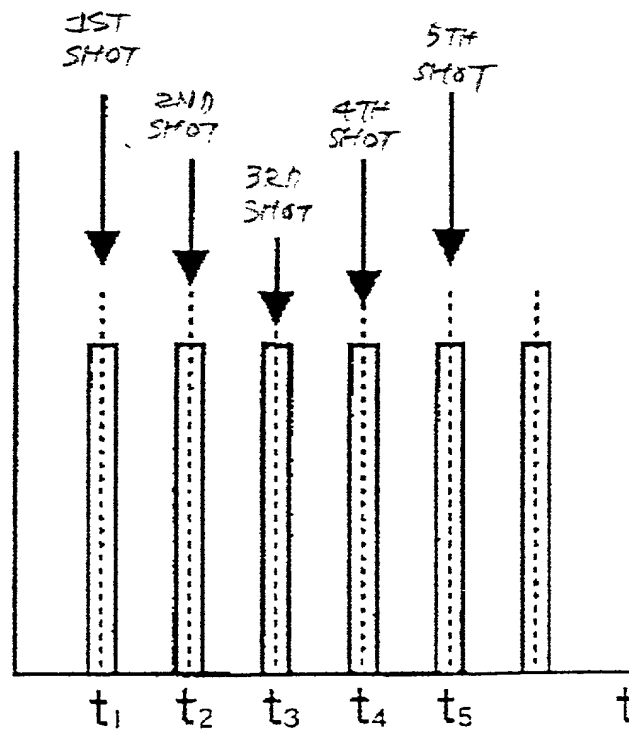


FIG. 38B

LINE SENSOR PICKUP TIMING



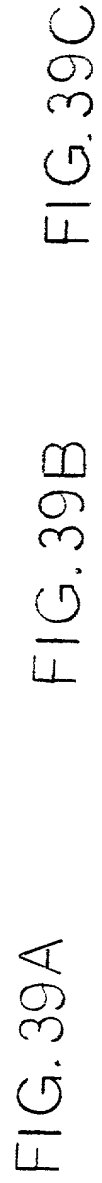


FIG. 40

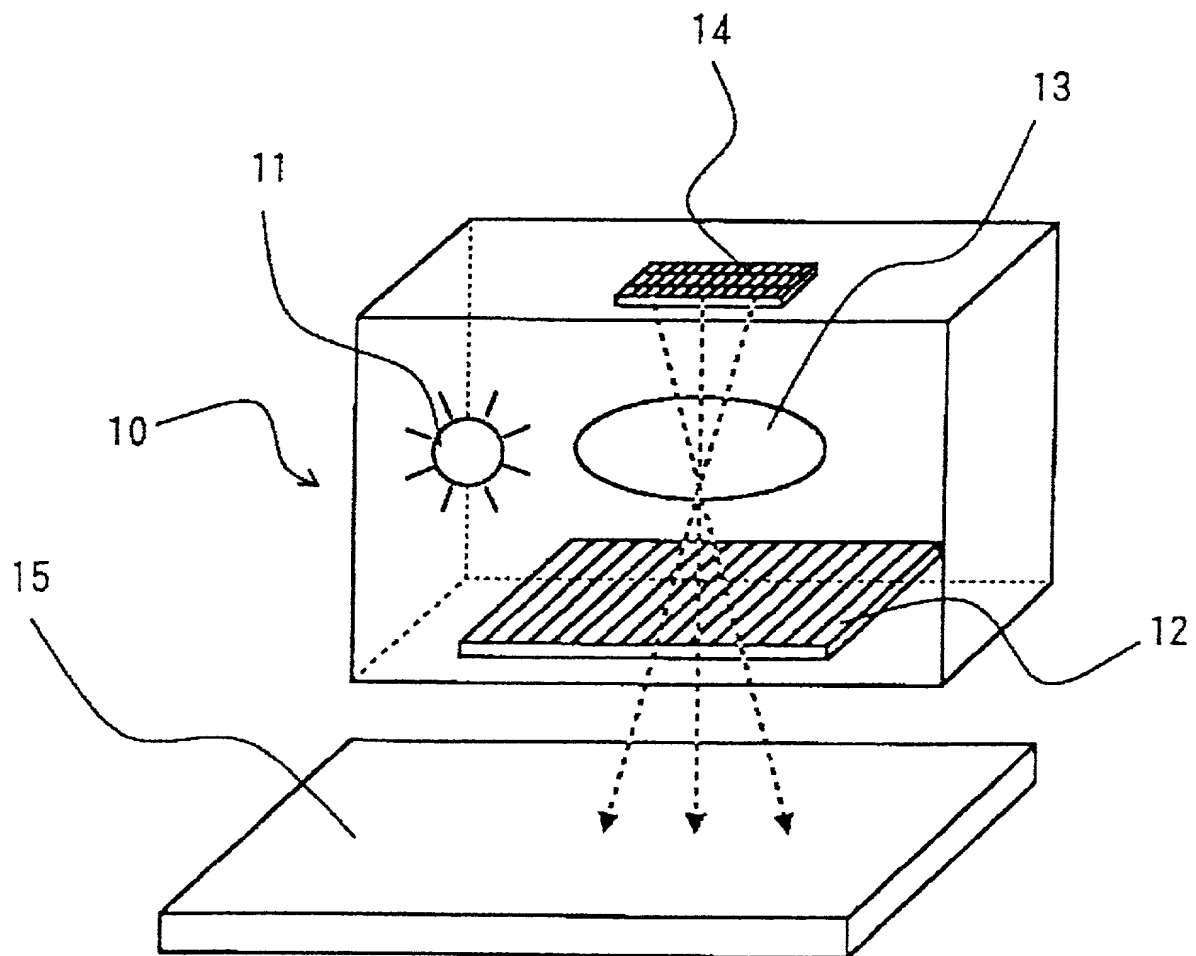


FIG. 41

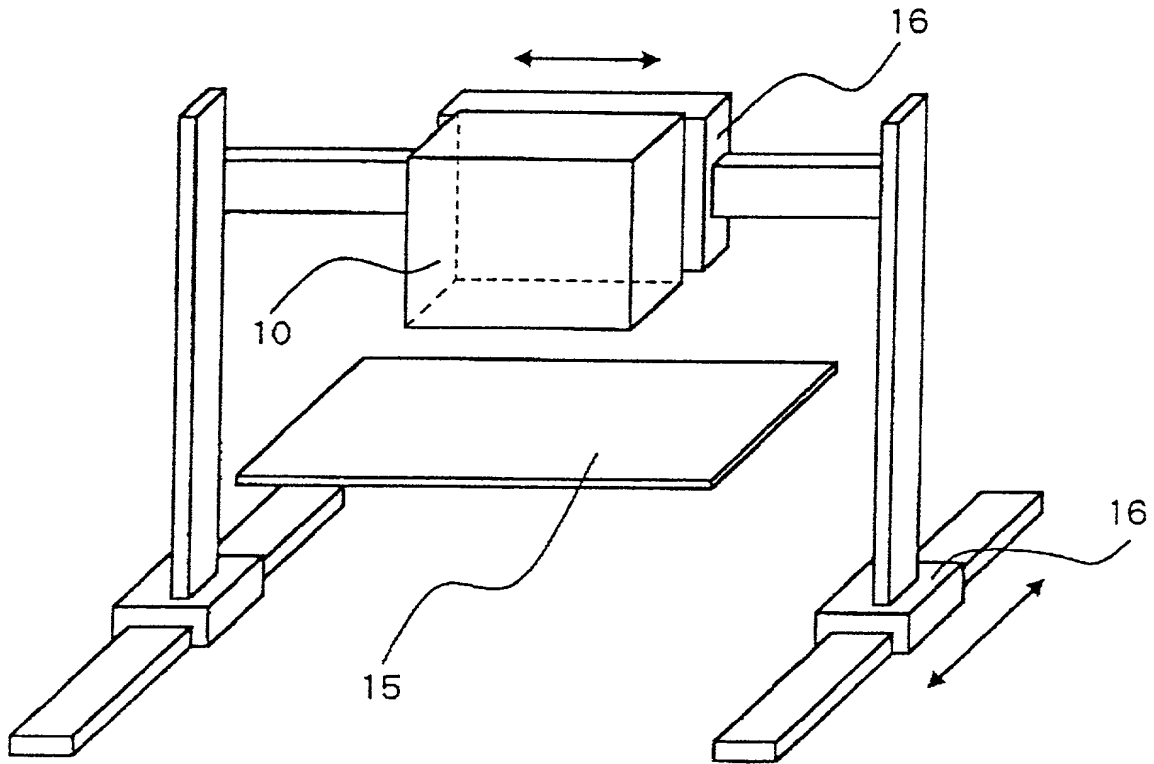


FIG. 42

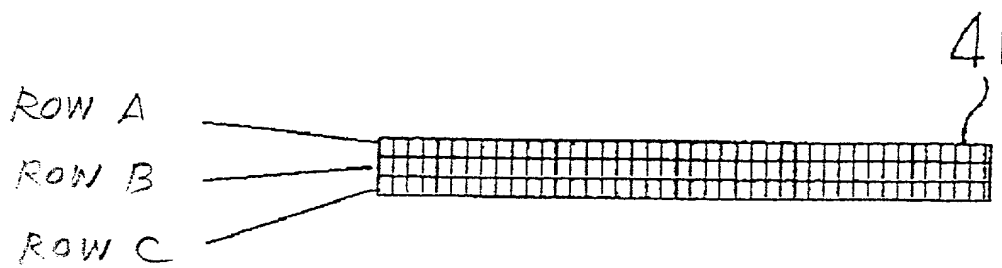


FIG. 43A

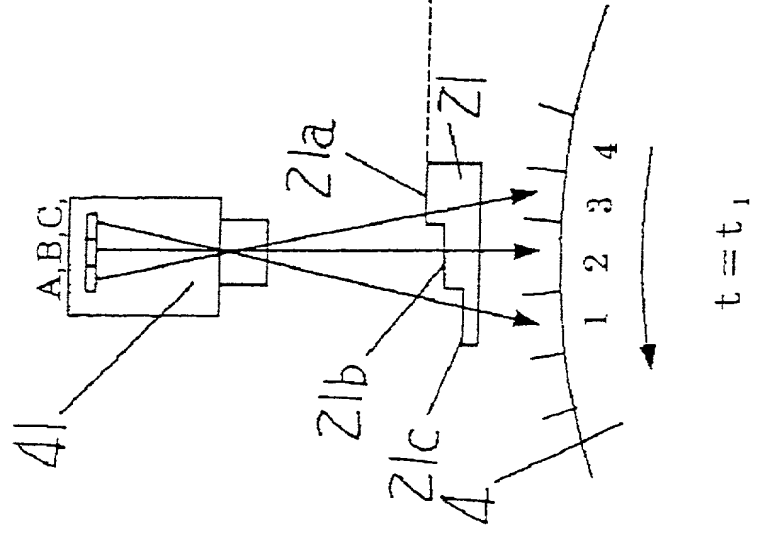


FIG. 43B

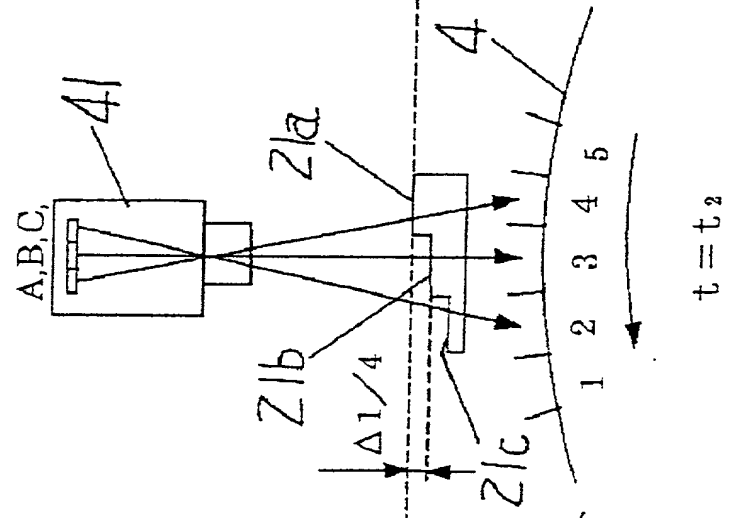


FIG. 43C

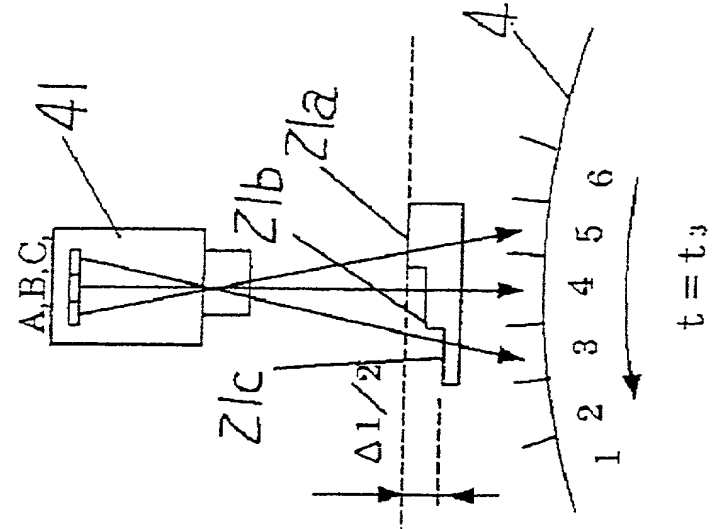


FIG. 44

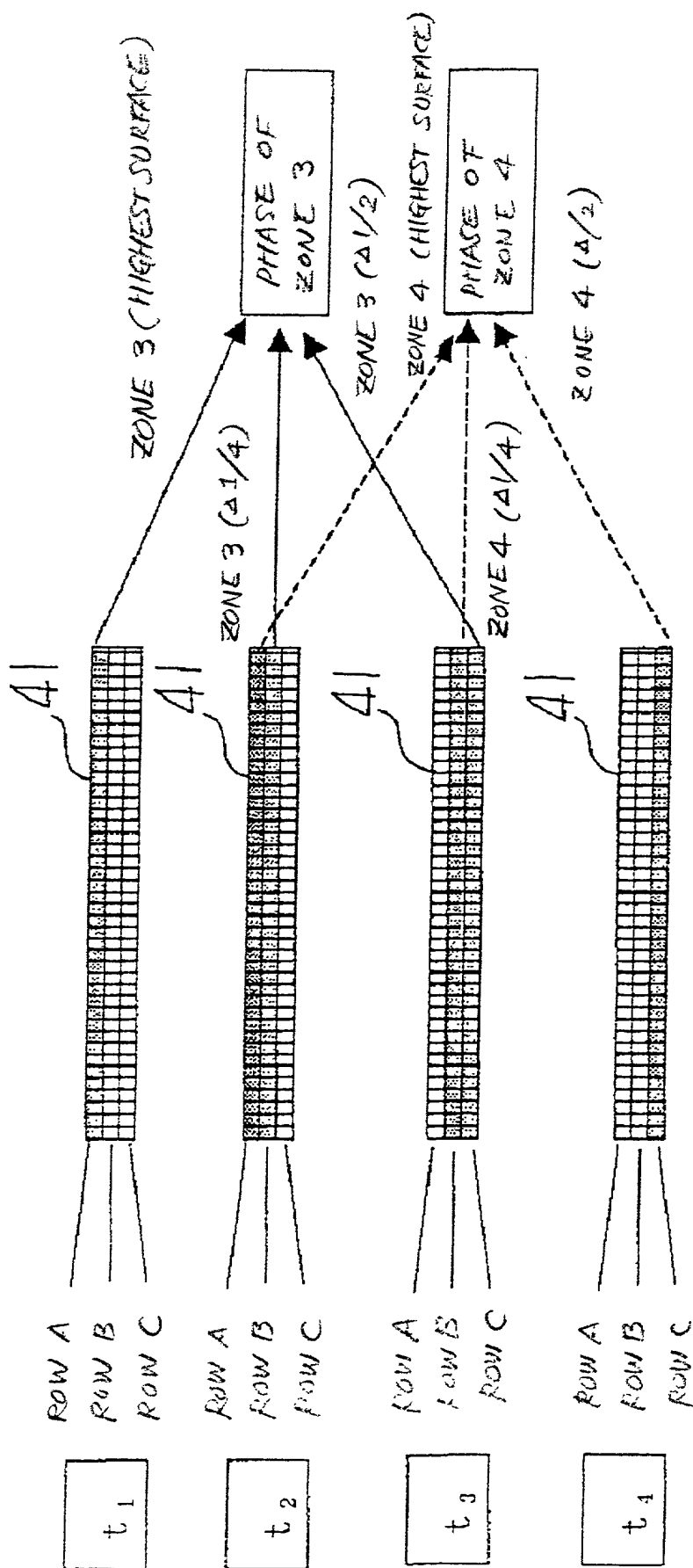


FIG. 45

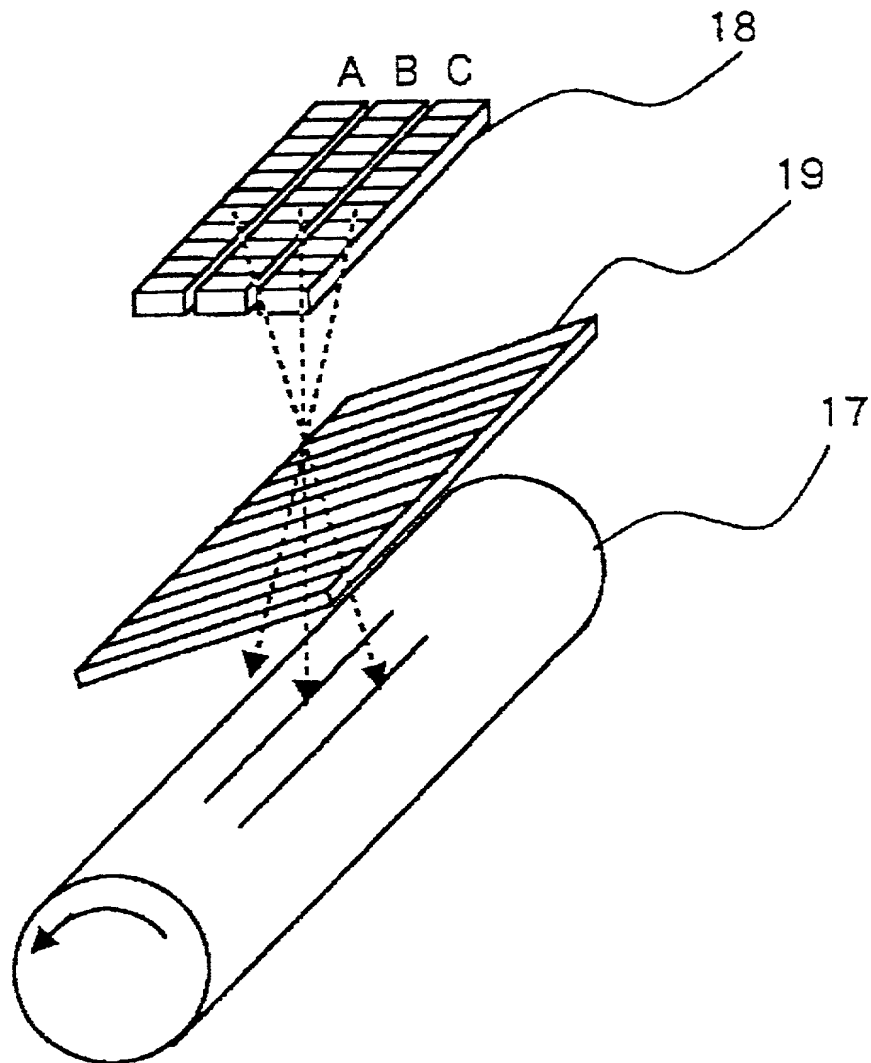


FIG. 46B

FIG. 46C

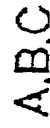


FIG. 47

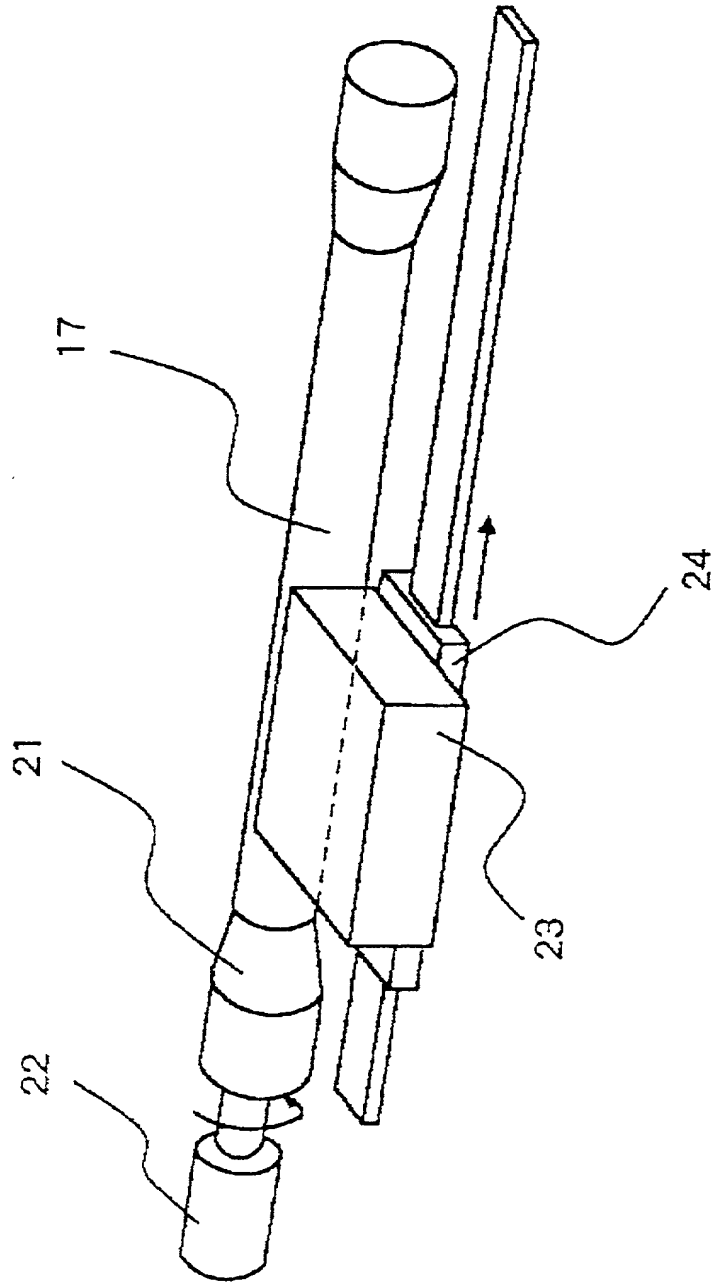


FIG. 48C

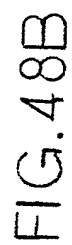


FIG. 49

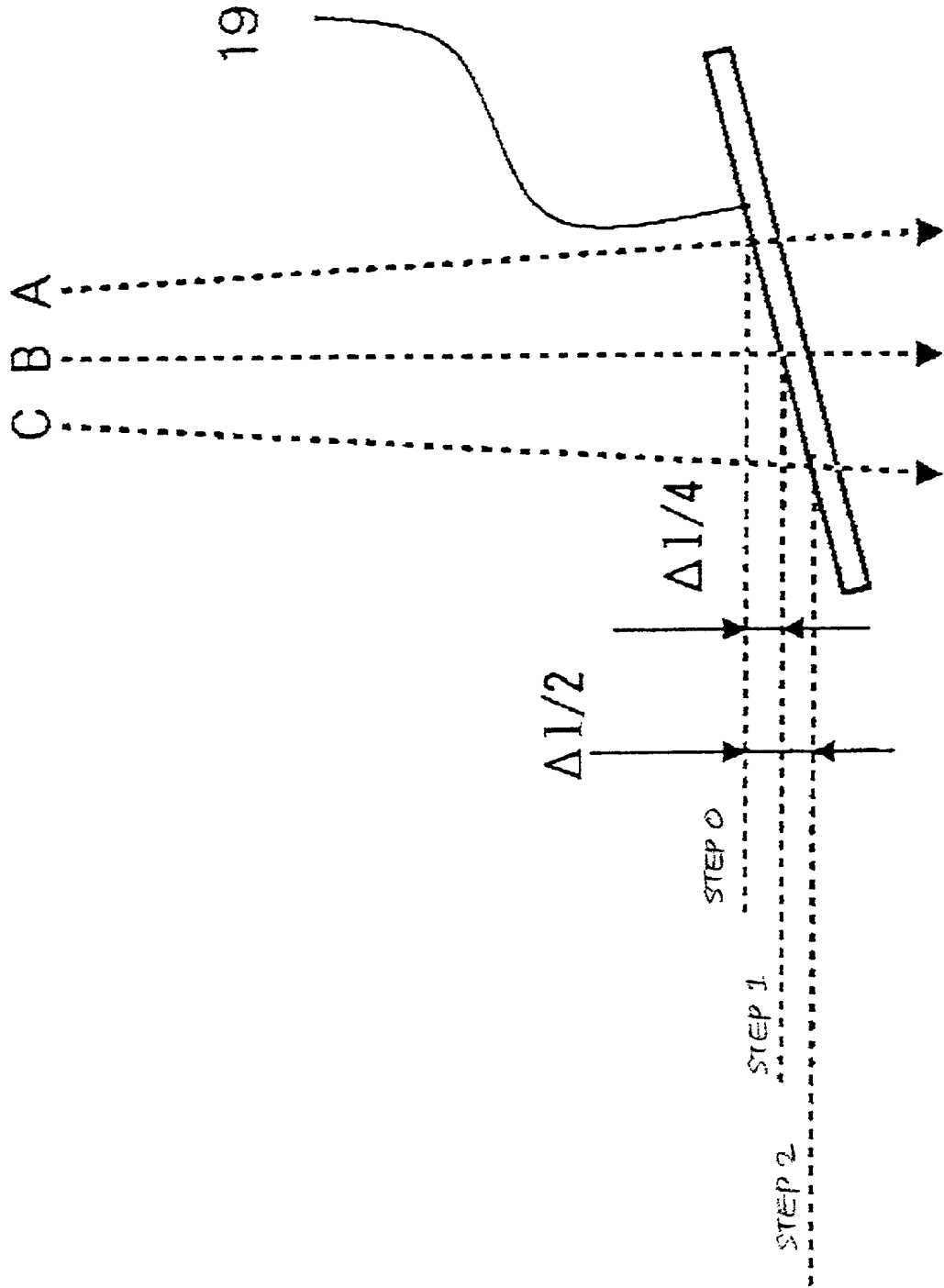


FIG. 50

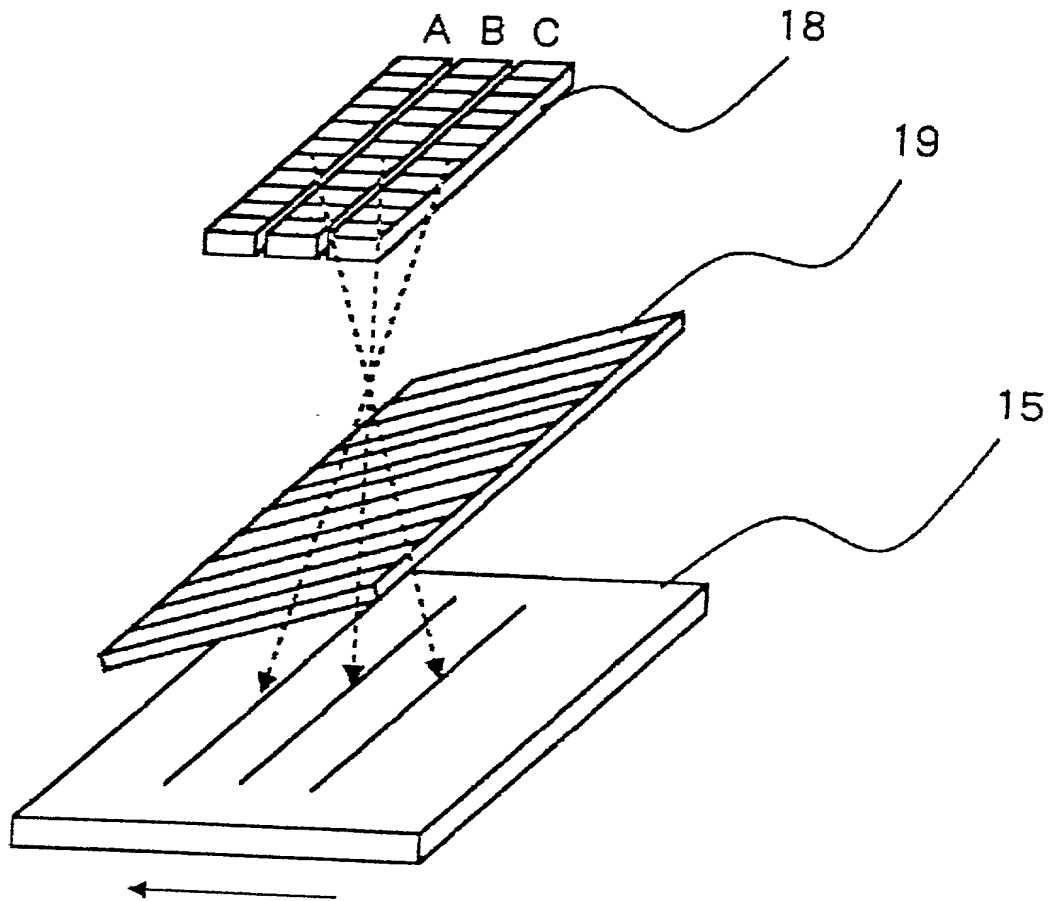


FIG. 51A

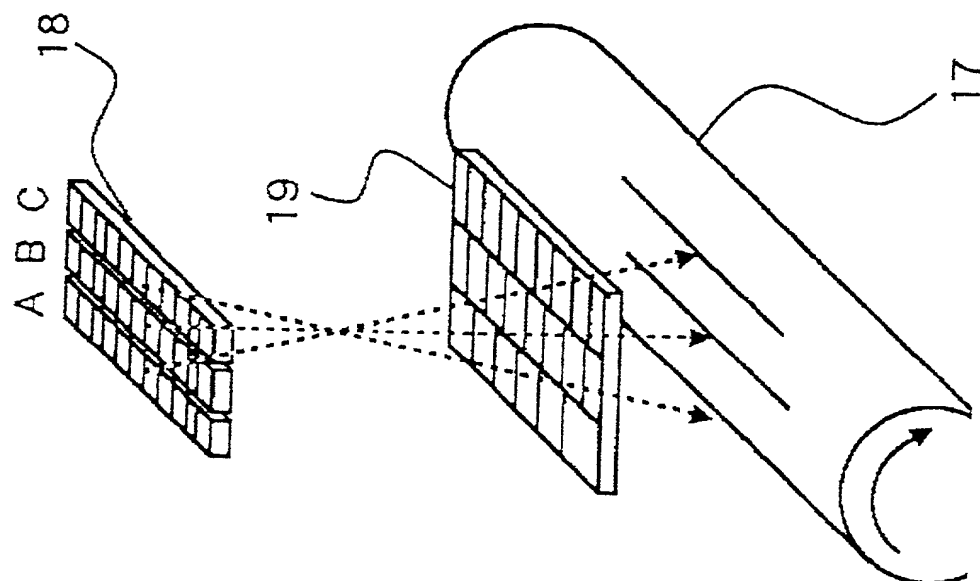


FIG. 51B

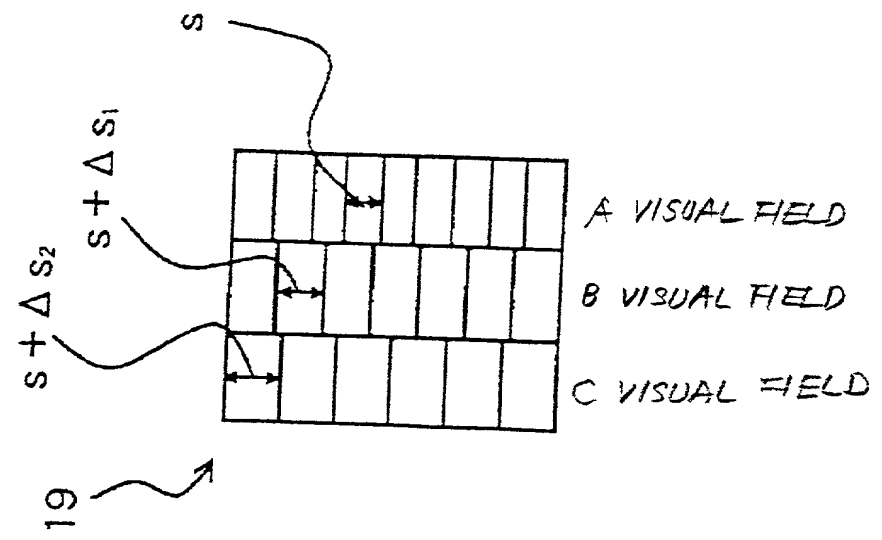


FIG. 52A

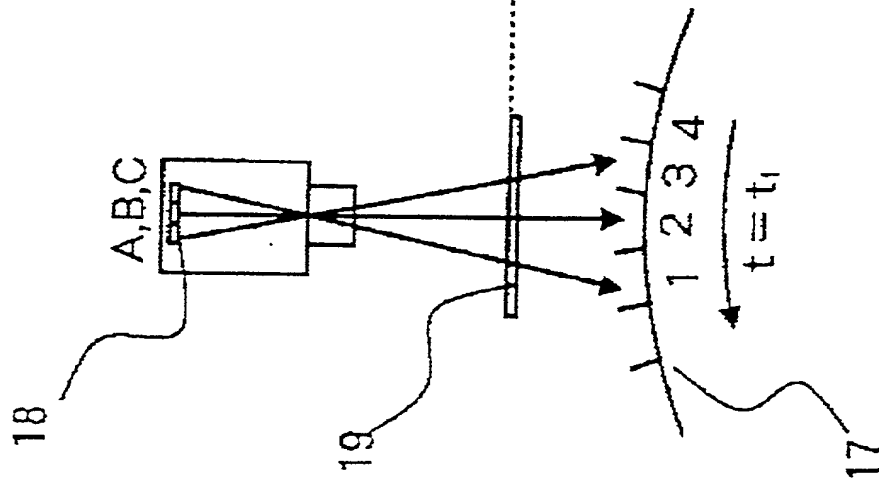


FIG. 52B

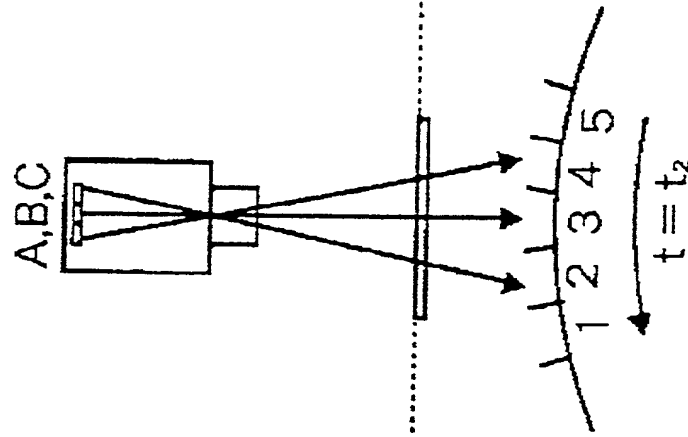


FIG. 52C

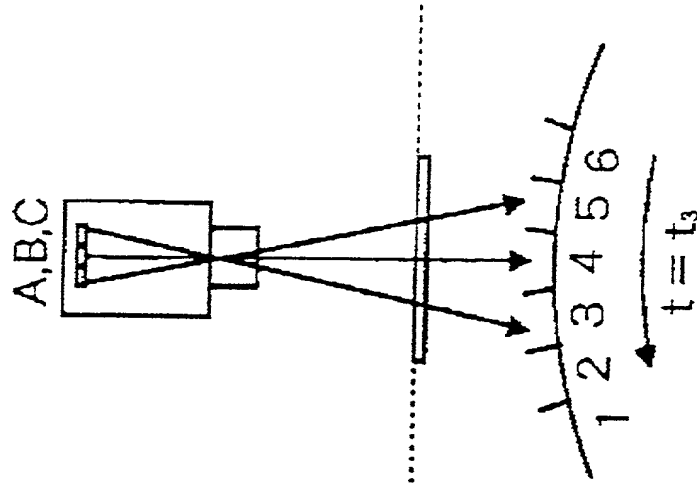


FIG. 53A

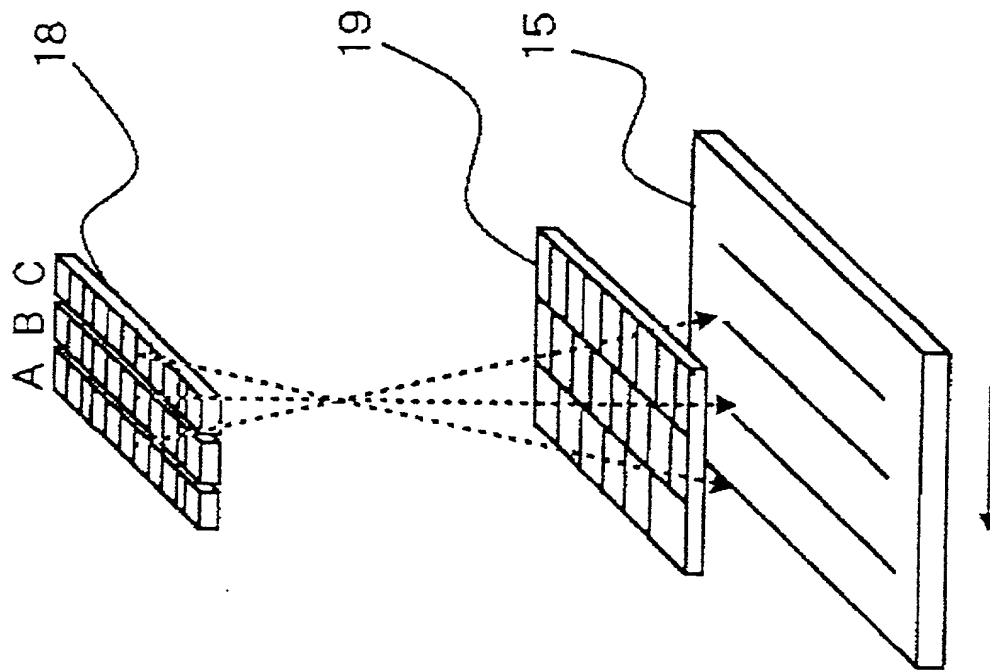


FIG. 53B

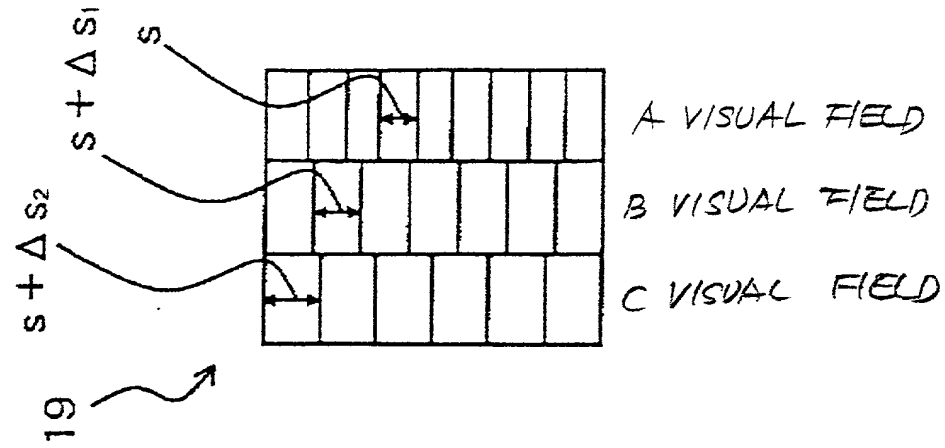


FIG. 54A

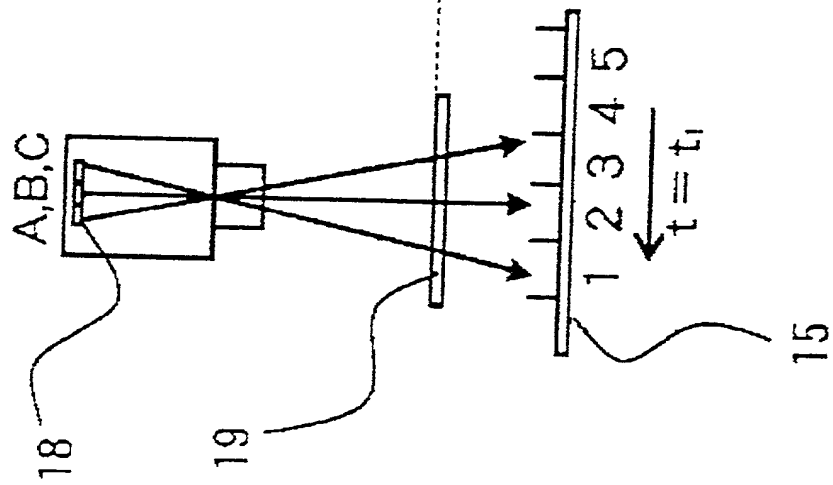


FIG. 54B

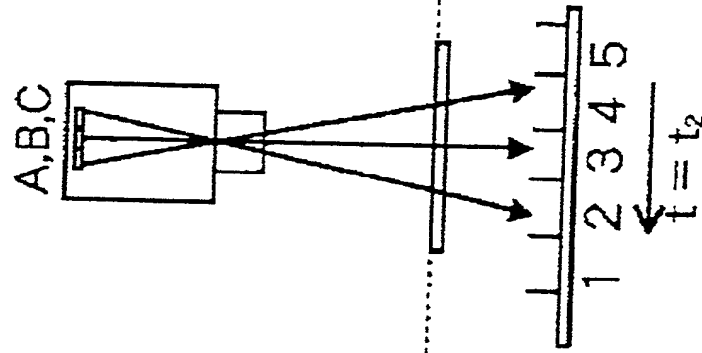


FIG. 54C

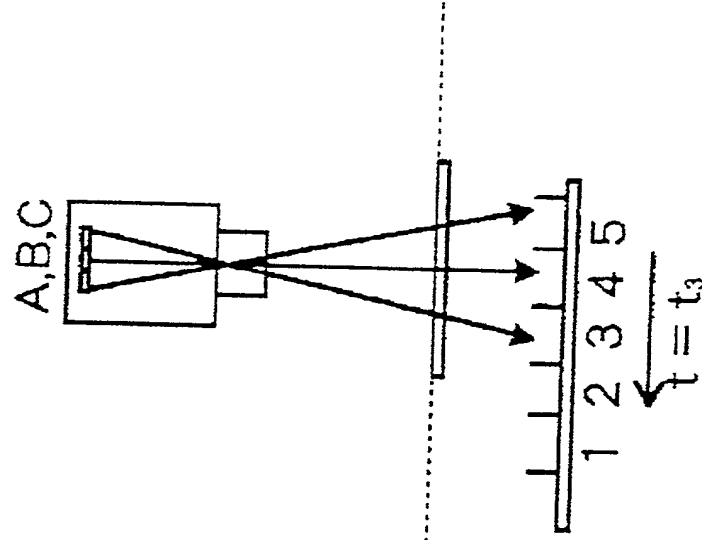


FIG. 55

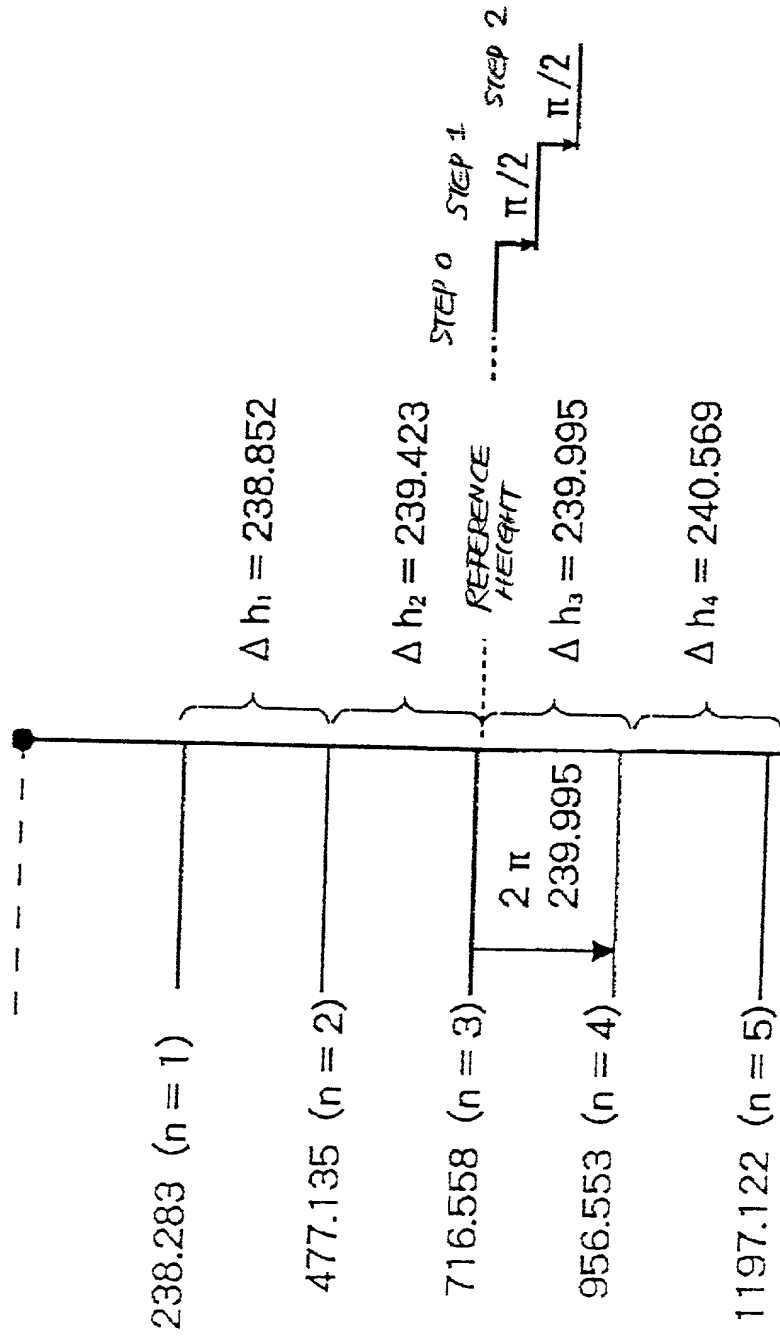


FIG. 56

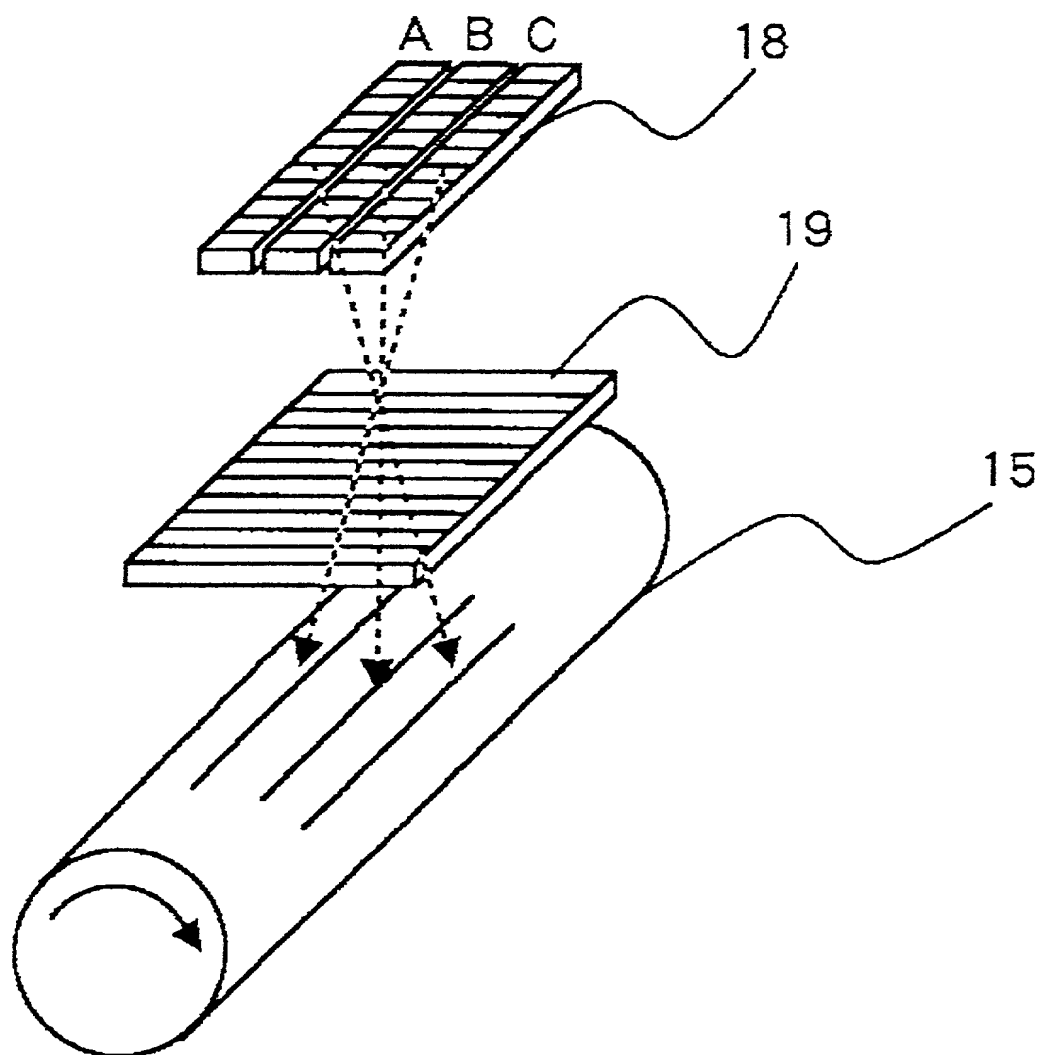


FIG. 57A FIG. 57B FIG. 57C

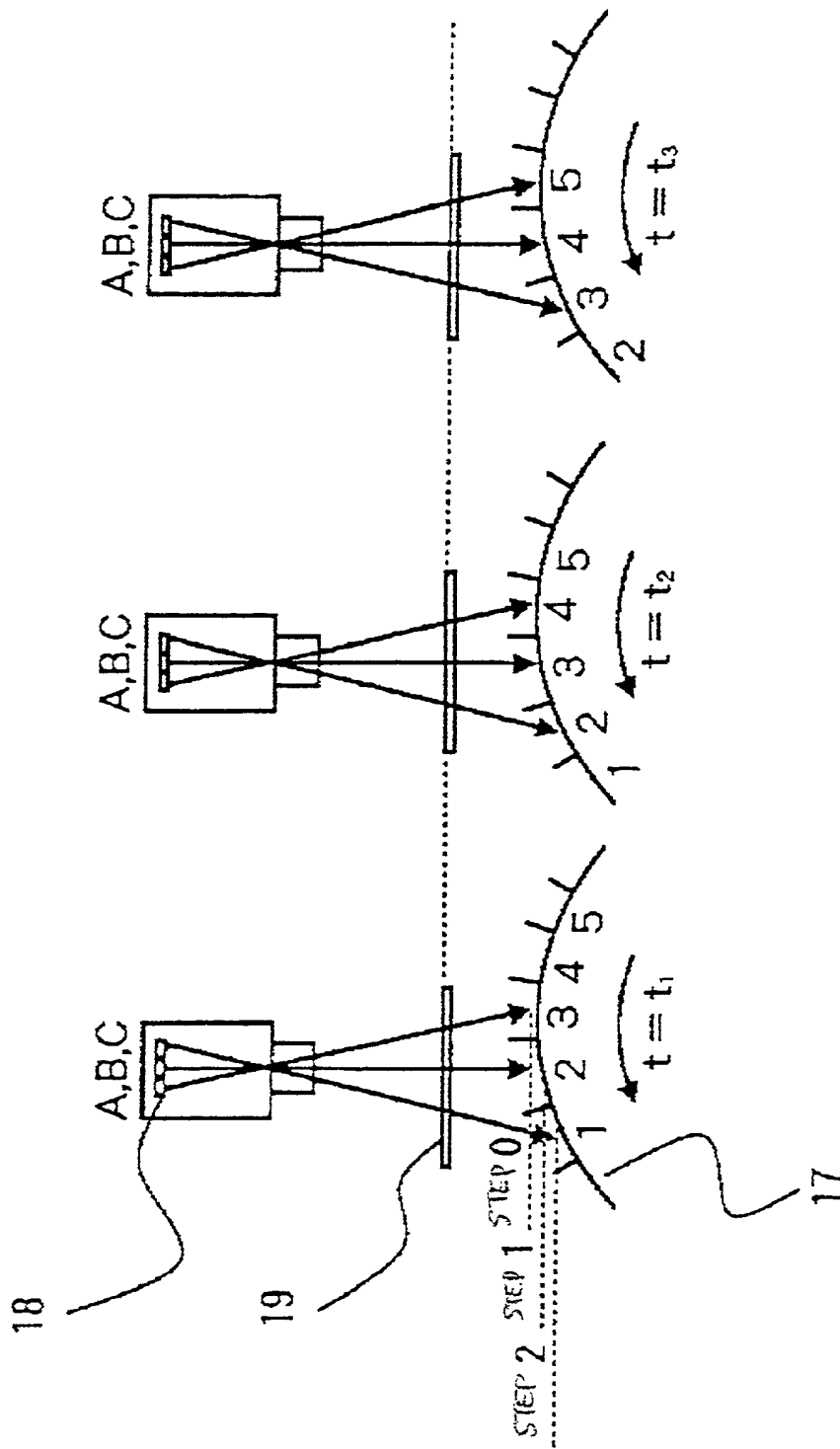


FIG. 58

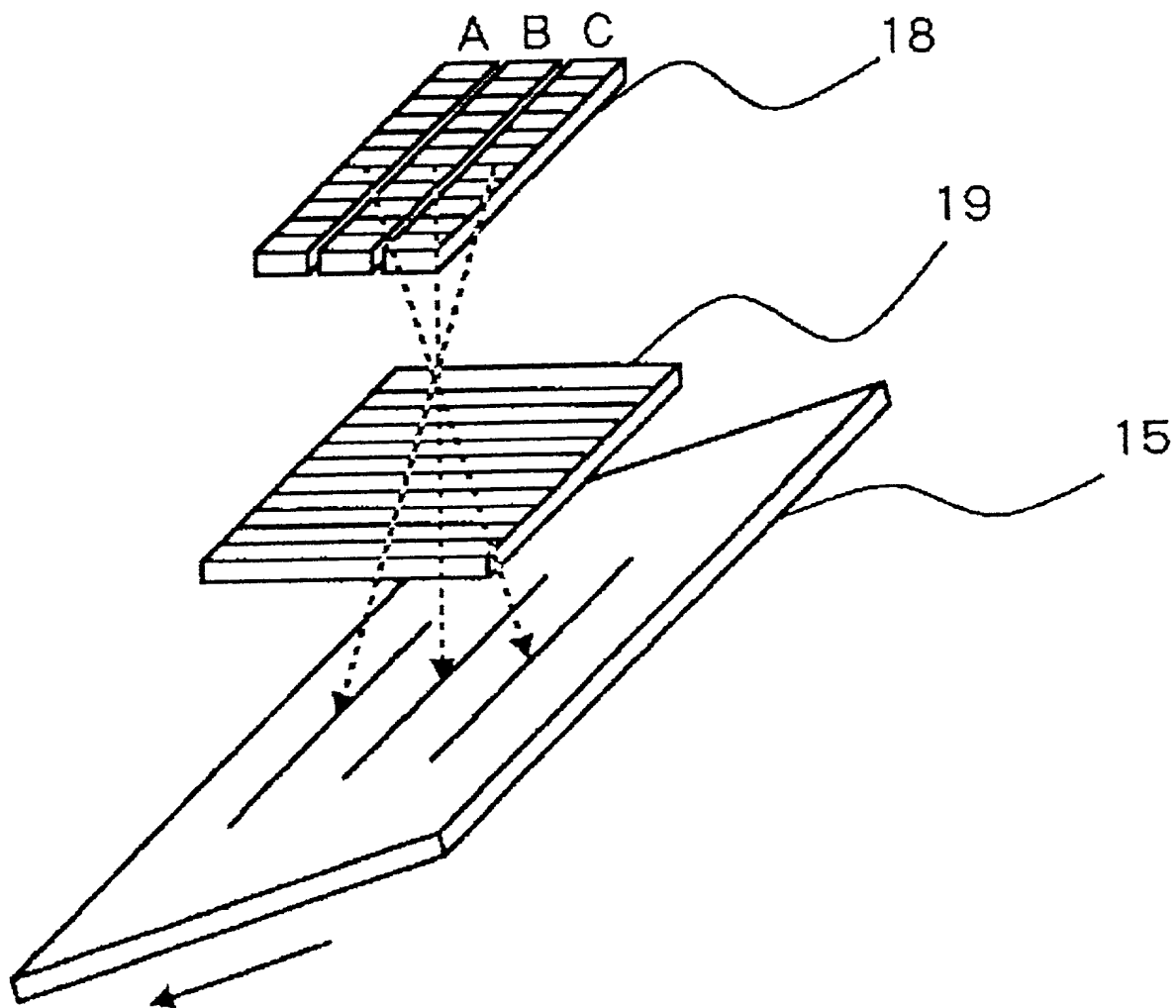


FIG. 59A

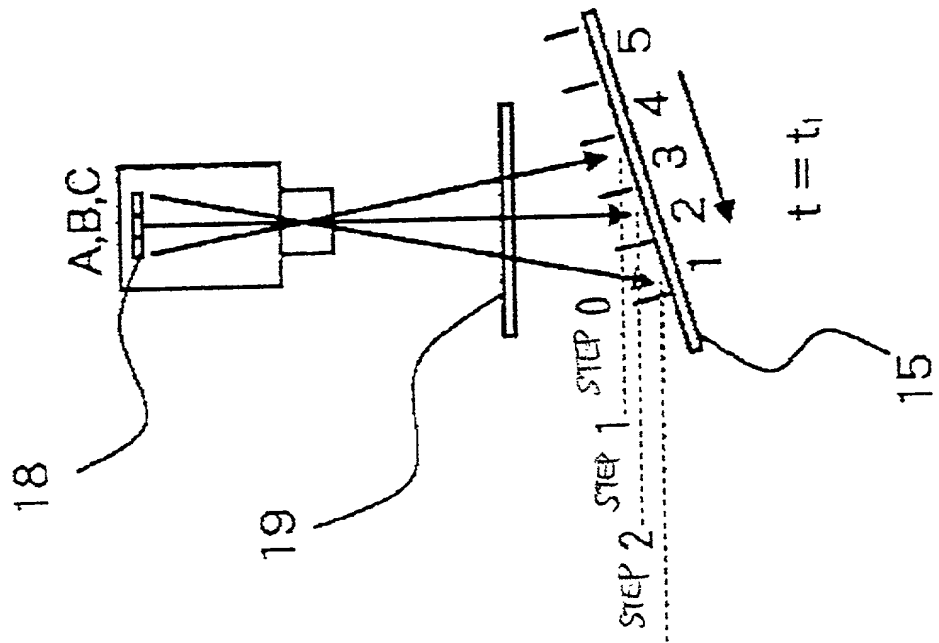


FIG. 59B

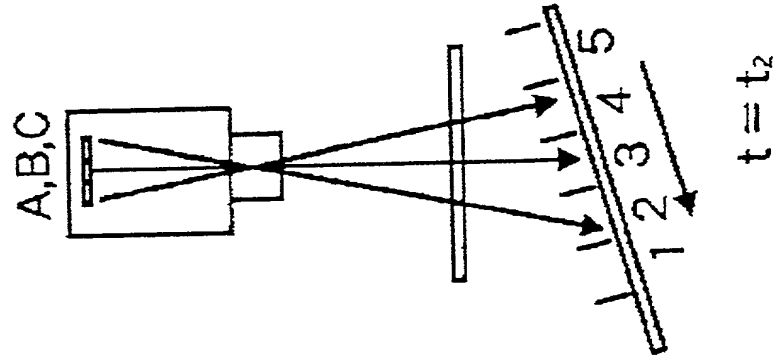


FIG. 59C

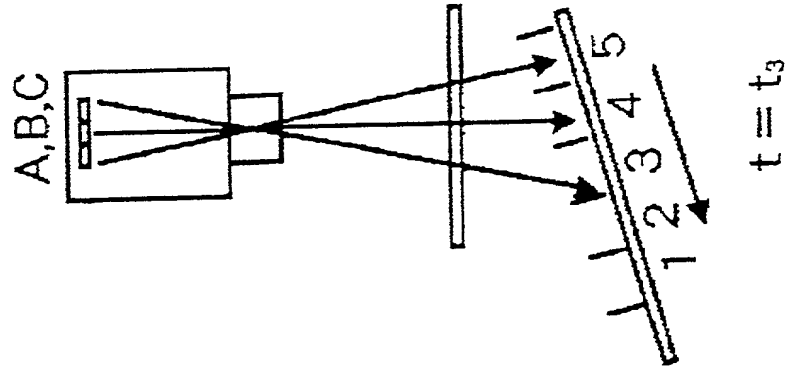


FIG. 60

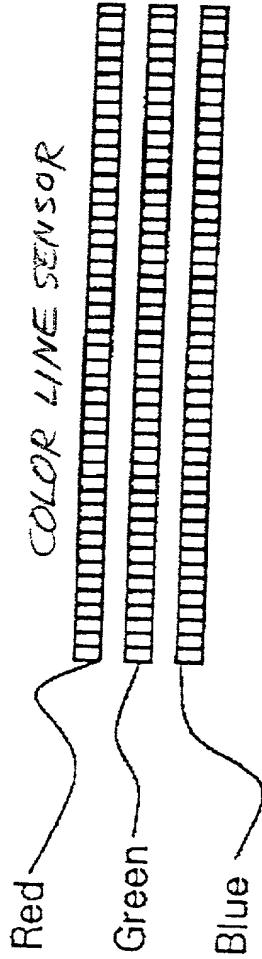


FIG. 61

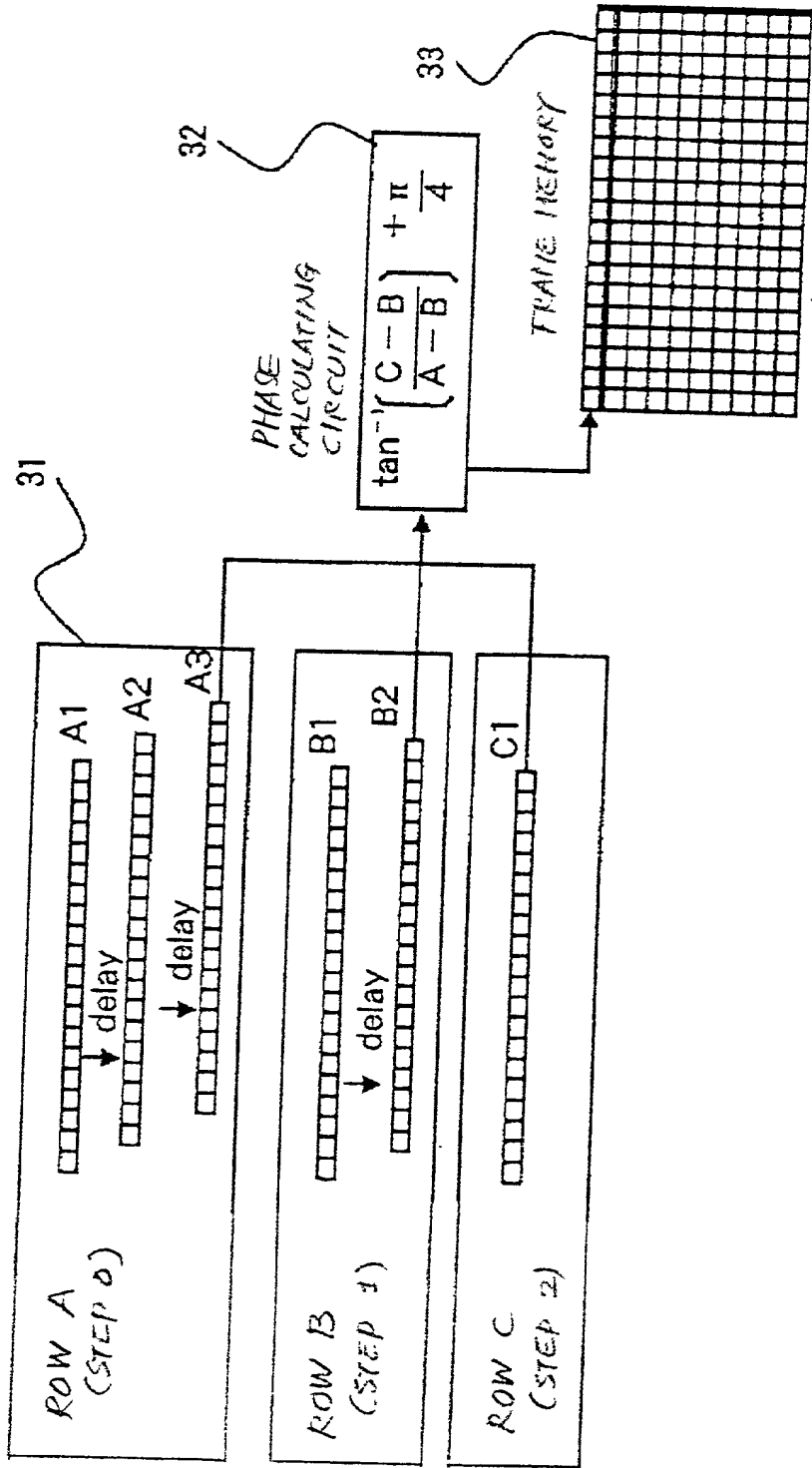


FIG. 62A

FIG. 62B

FIG. 62C

